

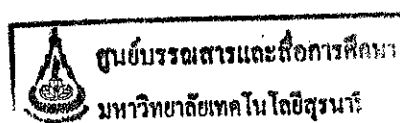
CONTRIBUTION

การวางแผนบล็อกแบบสลับทั้งแถวและหลัก
เพื่อนำไปใช้ในการเข้ารหัสแบบ Turbo Code

Row-Column Interleaver for using in Turbo Code

นายจิระศักดิ์ สิงห์กิริ

รายงานนี้เป็นส่วนหนึ่งของการศึกษาตามหลักสูตรปริญญาวิศวกรรมศาสตร์
สาขาวิชาจักรกล สาขาวิชาจักรกลและเครื่องจักรกล
มหาวิทยาลัยเทคโนโลยีสุรนารี
ปีการศึกษา 2544



โครงการ	การวางแผนบัญชีแบบสัมบทิ้งแกรนด์และหัก เพื่อนำไปใช้ในการเข้ารหัส
โดย	นายจิระศักดิ์ สิทธิกร
อาจารย์ที่ปรึกษา	อาจารย์พีระพงษ์ อุทารสนุล
สาขาวิชา	วิศวกรรมโทรคมนาคม
ภาคการศึกษาที่	1/2544

บทคัดย่อ

เนื่องจากการเข้ารหัสและถอดรหัสแบบ Turbo Code เป็นการเข้ารหัสและถอดรหัสที่มีประสิทธิภาพมาก และเป็นเรื่องที่มีผู้สนใจศึกษามากที่สุดเรื่องหนึ่ง โครงการนี้จึงทำการศึกษาการเข้ารหัสและถอดรหัสแบบ Turbo Code เพื่อจะปรับปรุงการทำงานในส่วน Deterministically Generate Interleaver โดยสร้าง Row-Column Interleaver และทำการทดสอบโปรแกรมการเข้ารหัสและถอดรหัสแบบ Turbo Code เพื่อเปรียบเทียบประสิทธิภาพ ของการเข้ารหัสและถอดรหัสแบบ Turbo Code ที่ใช้ Interleaver หลายแบบที่ความยาวเฟรมแตกต่างกัน และข้างได้สร้างเครื่องมือสร้างแบบจำลองการเข้ารหัสและถอดรหัสแบบ Turbo Code (Turbo Code Toolbox) ด้วยโปรแกรม Matlab ที่สามารถเลือกใช้เครื่องมือสร้าง Interleaver และแบบจำลองซ่องสัญญาณต่างๆกันได้

จากผลการทดสอบที่ได้ Row-Column Interleaver มีแนวโน้มที่ดีกว่าเมื่อเทียบกับ Circular Shifting Interleaver เส้นน้อย และดีกว่า Pseudo-Random Interleaver ที่ความยาวเฟรมน้อย แต่ที่ความยาวเฟรมมากๆ Pseudo-Random Interleaver จะให้ผลที่ดีที่สุด

กิตติกรรมประกาศ

โครงงานนี้สำเร็จลุล่วงด้วยดี ผู้จัดทำของรายข้อมูลคุณเป็นอย่างสูง สำหรับ บุคคล และ กลุ่มบุคคลต่างๆ ที่ได้กรุณาให้คำปรึกษา แนะนำ ช่วยเหลือ อย่างดีเยี่ยม ทั้งในด้านวิชาการ และด้าน การดำเนินงาน ดังนี้

- อ.พิระพงษ์ อุทากรสกุล ซึ่งเป็นอาจารย์ที่ปรึกษาโครงงานนี้ ที่ให้คำแนะนำ คำปรึกษาในการ ศึกษา และ สนับสนุนการดำเนินงานมาโดยตลอด
- อ.ดร. รังสรรค์ ห้องหา และ อ.ประ โยชน์ คำสวัสดิ์ ซึ่งกรุณารถจะเวลาอันมีค่ามาเป็นคณะกรรมการสอบในโครงงานนี้
- อ.สมศักดิ์ วานิชอนันต์ชัย ซึ่งสนับสนุน และ ให้คำแนะนำอันมีประโยชน์ในการดำเนินงาน
- บุคลากรสาขาวิชาศึกษา โตรคุณนาคม ซึ่งสนับสนุนการดำเนินงาน
- เหล่าคณาจารย์ ซึ่งได้ประสิทธิ์ประสานวิชาความรู้

ท้ายนี้ขอราบของพระคุณ บิดา มารดา ที่ให้การเลี้ยงดูอบรมและส่งเสริมการศึกษาเป็น อย่างดีตลอดมาในอดีต จนทำให้ผู้จัดทำประสบความสำเร็จในชีวิตตลอดมา

จิระศักดิ์ สิทธิกร

สารบัญ

	หน้า
บทคัดย่อ	๙
กิตติกรรมประกาศ	๑
สารบัญ	๔
สารบัญตาราง	๗
สารบัญภาพ	๘
บทที่ ๑	
บทนำ	๑
1.1 ความเป็นมา	๑
1.2 วัตถุประสงค์ของโครงงาน	๒
1.3 ขอบเขตของโครงงาน	๒
1.4 ขั้นตอนการดำเนินงาน	๒
บทที่ ๒	
ทฤษฎีของการเข้ารหัสและถอดรหัส	๓
2.1 Linear Block Code	๔
2.1.1 การเข้ารหัส Linear Block Code	๔
2.1.2 การถอดรหัส Linear Block Code	๖
2.1.2.1 การตรวจสอบความผิดพลาดข้อมูล	๗
2.1.2.2 การแก้ไขข้อผิดพลาดของข้อมูล	๗
2.1.2.3 ประสิทธิภาพของ Linear Block Code	๘
2.2 Convolutional Code	๘
2.2.1 Convolutional Encoder	๘
2.2.2 Convolutional Decoder (Viterbi Decoding)	๑๒
2.3 Turbo Code	๑๖
2.3.1 Turbo Code Encoder	๑๖

2.3.1.1 Interleaver	16
2.3.1.2 Recursive Systematic Convolutional Encoder.....	16
2.3.1.3 Puncturing and Multiplexing	18
2.3.2 Turbo Code Decoder (Iterative Decoding).....	19
2.3.2.1 Maximum A Posteriori (MAP) Algorithm	21
2.3.2.2 max-log-MAP Algorithm และ log-MAP Algorithm.....	23
2.4 Interleaver	25
2.4.1 Pseudo-Random Interleaver	25
2.4.2 Deterministically Generate Interleaver.....	25
2.4.2.1 Block Interleaver.....	25
2.4.2.2 Circular Shifting Interleaver	26
2.4.3 Row-Column Interleaver.....	26
บทที่ 3	
ทฤษฎีของแบบจำลองช่องสัญญาณ	30
3.1 ทฤษฎีโทรศัพท์เคลื่อนที่เบื้องต้น	30
3.1.1 เส้นทางการแพร่กระจาย (Propagation path)	30
3.1.2 Multipath Fading Due to Scattering Factors	31
3.1.2.1 สาเหตุจากสิ่งแวดล้อม และเครื่องรับสัญญาณไม่เคลื่อนที่	31
3.1.2.2 สาเหตุจากสิ่งแวดล้อม หรือเครื่องรับสัญญาณเคลื่อนที่	32
3.1.2.3 สาเหตุจากสิ่งแวดล้อม และเครื่องรับสัญญาณเคลื่อนที่.....	34
3.1.3 มาตรฐาน IS-95.....	34
3.2 แบบจำลองช่องสัญญาณ AWGN	35
3.3 แบบจำลองช่องสัญญาณ Rayleigh Fading	36
3.4 แบบจำลองช่องสัญญาณ Ricean Fading.....	37
3.5 การสร้างแบบจำลองช่องสัญญาณ Rayleigh Fading และ Ricean Fading.....	37
บทที่ 4	
การทำงานของโปรแกรม.....	40
การ สร้าง และใช้งานเครื่องมือสร้างแบบจำลอง Turbo code.....	40
4.1 การทำงานของโปรแกรม Turbo code.....	40
4.1.1 การทำงานโดยรวมของโปรแกรม	40

4.1.2 การทำงาน Turbo Code Encoder	41
4.1.3 การทำงาน Turbo Code Decoder	42
4.2 การสร้างเครื่องมือสร้างแบบจำลอง Turbo code	43
4.2.1 การสร้างเครื่องมือสร้างข้อมูลสำหรับเข้ารหัส	43
4.2.2 การสร้างเครื่องมือ Turbo Code Encoder	44
4.2.3 การสร้างเครื่องมือ Turbo Code Decoder	44
4.2.4 การสร้างเครื่องมือสำหรับ Interleaver	46
4.2.4.1 Pseudo-Random Interleaver	46
4.2.4.2 Block Interleaver	47
4.2.4.3 Circular Shifting Interleaver	47
4.2.4.4 Row-Column Interleaver	48
4.2.5 การสร้างเครื่องมือสำหรับแบบจำลองช่องสัญญาณ	48
4.2.5.1 AWGN Channel Model	48
4.2.5.2 Rayleigh Fading Channel Model	48
4.2.5.3 Ricean Fading Channel Model	49
4.2.6 การสร้างเครื่องมือสำหรับเครื่องวัดความผิดพลาด	49
4.4 การใช้งานเครื่องมือสร้างแบบจำลอง Turbo Code	51
บทที่ 5	
วิเคราะห์ผล	56
5.1 การเปรียบเทียบผลที่ได้จากโปรแกรม	56
5.1.1 การเปรียบเทียบผลของโปรแกรม Turbo Code บนแบบจำลองช่องสัญญาณ AWGN	56
5.1.2 การเปรียบเทียบผลของโปรแกรมสร้างแบบจำลองช่องสัญญาณ	59
5.2 ความสัมพันธ์ระหว่าง Average Weight กับ Bit Distance ของ Interleaver ที่ความยาวเฟรมต่างกัน	60
5.3 ผลการทดสอบ Turbo Code เมื่อongจากการใช้ Interleaver ที่ต่างกันบนแบบจำลองช่องสัญญาณ AWGN ที่ความยาวเฟรม ต่างกัน	64
5.3.1 การทดสอบ Turbo Code ที่ ความยาวเฟรม 40 บิต	64
5.3.2 การทดสอบ Turbo Code ที่ ความยาวเฟรม 1024 บิต	65
5.3.3 การทดสอบ Turbo Code ที่ ความยาวเฟรม 16384 บิต	67

5.4 สรุปผลของการทดสอบโปรแกรมที่ความยาวเฟรมต่างกันเปรียบเทียบกับความถั่นพันธ์ระหว่าง Average Weight กับ Bit Distance ของ Interleaver ที่ความยาวเฟรมต่างกัน	70
5.4.1 สรุปผลของการทดสอบโปรแกรมมีความยาวเฟรมน้อย.....	70
5.4.2 สรุปผลของการทดสอบโปรแกรมมีความยาวเฟรมมาก	70
บทที่ 6	
บทสรุป และข้อเสนอแนะ	71
6.1 บทสรุป.....	71
6.2 ปัญหาและอุปสรรคในการทำงาน	71
6.3 จุดจำกัดของโครงงาน	72
6.4 ข้อเสนอแนะเพิ่มเติม.....	72
รายการอ้างอิง	73

สารบัญตาราง

หน้า

ตารางที่ 2-1 ตารางแสดงตัวอย่างการเข้ารหัส Linear Block Code	5
ตารางที่ 2-2 ตารางแสดงตัวอย่างกลุ่มบิตที่แสดงความผิดพลาด S	7
ตารางที่ 2-3 ตารางแสดงผล Convolutional Encoder, $G = (5,2)$	10

สารบัญภาพ

หน้า

ภาพที่ 2-1 ภาพแสดงระบบสื่อสารข้อมูล	3
ภาพที่ 2-2 ภาพแสดง Convolutional Encoder.....	9
ภาพที่ 2-3 ภาพแสดง Convolutional Encoder, $G = (5,2)$	10
ภาพที่ 2-4 ภาพแสดงแผนผังของสถานะ Convolutional Encoder, $G = (5,2)$	11
ภาพที่ 2-4 ภาพแสดง Trellis Diagrams ของ Convolutional Encoder, $G = (5,2)$	11
ภาพที่ 2-4 ภาพแสดงการเข้ารหัส Convolutional Code, $G = (5,2)$ ด้วย Trellis Diagrams	12
ภาพที่ 2-5 ภาพแสดงการคำนวณเมตริกสำหรับ Viterbi Trellis Decoding.....	13
ภาพที่ 2-6 ภาพแสดงการถอดรหัส Viterbi Trellis Decoding.....	15
ภาพที่ 2-7 ภาพแสดง Turbo Encoder	16
ภาพที่ 2-8 ภาพแสดง Nonsystematic Convolutional (NSC) Code.....	17
ภาพที่ 2-9 ภาพแสดง Recursive Systematic Convolutional (NSC) Code.....	17
ภาพที่ 2-10 ภาพแสดง Trellis Decoding ของ NSC Code และ RSC Code	17
ภาพที่ 2-11 ภาพแสดง Turbo Code Encoder ($G = [7,5]$)	18
ภาพที่ 2-12 ภาพแสดง Soft -Input Soft-Output Decoder RSC Code	19
ภาพที่ 2-13 ภาพแสดง Turbo Code Decoder	20
ภาพที่ 3-1 ภาพแสดงการแพร่กระจายสัญญาณของระบบโทรศัพท์เคลื่อน แบบ Out of Sight	30
ภาพที่ 3-2 ภาพแสดงการแพร่กระจายสัญญาณของระบบโทรศัพท์เคลื่อน แบบ Line of Sight.....	31
ภาพที่ 3-3 ภาพแสดงการเกิด Multipath Fading เมื่อสิ่งแวดล้อม และเครื่องรับสัญญาณ ไม่เคลื่อนที่	32
ภาพที่ 3-4 ภาพแสดงการเกิด Multipath Fading เมื่อเครื่องรับสัญญาณ ไม่เคลื่อนที่ แต่สิ่งแวดล้อม เคลื่อนที่	32
ภาพที่ 3-5 ภาพแสดงการเกิด Multipath Fading เมื่อสิ่งแวดล้อม ไม่เคลื่อนที่ แต่เครื่องรับสัญญาณ เคลื่อนที่	33
ภาพที่ 4-1 ภาพแสดงการทำงานของโปรแกรมโดยรวม	41

ภาพที่ 4-2 ภาพแสดงการทำงานของโปรแกรม Turbo Code Encoder.....	42
ภาพที่ 4-3 ภาพแสดงการทำงานของโปรแกรม Turbo Code Decoder	43
ภาพที่ 4-4 ภาพแสดง Generated Source และส่วนประกอบภายใน.....	43
ภาพที่ 4-5 ภาพแสดงเครื่องมือเข้ารหัส Turbo Code	44
ภาพที่ 4-6 ภาพแสดง Turbo Code.....	44
ภาพที่ 4-7 ภาพแสดงเครื่องมือถอดรหัส Turbo Code	45
ภาพที่ 4-8 ภาพแสดงส่วนประกอบภายในของเครื่องมือถอดรหัส Turbo Code.....	45
ภาพที่ 4-9 ภาพแสดงส่วนประกอบภายในของ Demultiplex	45
ภาพที่ 4-10 ภาพแสดงส่วนประกอบภายในของ Reliability	46
ภาพที่ 4-11 ภาพแสดงส่วนประกอบภายในของ Decoder.....	46
ภาพที่ 4-12 ภาพแสดง Pseudo-Random Interleaver และส่วนประกอบภายใน	47
ภาพที่ 4-13 ภาพแสดง Block Interleaver และส่วนประกอบภายใน	47
ภาพที่ 4-14 ภาพแสดง Circular Shifting Interleaver และส่วนประกอบภายใน	47
ภาพที่ 4-15 ภาพแสดง และส่วนประกอบภายใน	48
ภาพที่ 4-16 ภาพแสดง AWGN Channel Model และส่วนประกอบภายใน	48
ภาพที่ 4-17 ภาพแสดง Rayleigh Fading Channel Model และส่วนประกอบภายใน	49
ภาพที่ 4-18 ภาพแสดง Ricean Fading Channel Model และส่วนประกอบภายใน	49
ภาพที่ 4-19 ภาพแสดงเครื่องมือสำหรับเครื่องวัดความผิดพลาด	50
ภาพที่ 4-20 ภาพแสดงส่วนประกอบภายในของเครื่องมือสำหรับเครื่องวัดความผิดพลาด(1).....	50
ภาพที่ 4-21 ภาพแสดงส่วนประกอบภายในของเครื่องมือสำหรับเครื่องวัดความผิดพลาด (2).....	50
ภาพที่ 4-22 ภาพแสดงส่วนประกอบภายในของเครื่องมือสำหรับเครื่องวัดความผิดพลาด (3).....	51
ภาพที่ 4-23 ภาพแสดงส่วนประกอบเครื่องมือสร้างแบบจำลอง Turbo Code	51
ภาพที่ 4-23 ภาพแสดงการใช้ Display	52
ภาพที่ 4-23 ภาพแสดงตัวอย่างเครื่องมือสร้างแบบจำลอง Turbo Code.....	53
ภาพที่ 5-1 ภาพแสดงผลการทดสอบโปรแกรม Turbo Code เทียบระหว่าง BER กับ Eb/N0 โดยใช้ ความยาวเฟรม 400 บิต, $G = (1\ 1\ 1, 1\ 0\ 1)$, ที่ rate = 1/2.....	56
ภาพที่ 5-2 ภาพแสดงผลการทดสอบ Turbo Code ของ Yufei Wu โดยเทียบ ระหว่าง BER กับ Eb/N0 โดยใช้ความยาวเฟรม 400 บิต, $G = (1\ 1\ 1, 1\ 0\ 1)$, ที่ rate = 1/2	57
ภาพที่ 5-3 ภาพแสดงผลการทดสอบโปรแกรม Turbo Code เทียบระหว่าง BER กับ Eb/N0 โดยใช้ ความยาวเฟรม 400 บิต, $G = (1\ 1\ 1, 1\ 0\ 1)$, ที่ rate = 1/3.....	57

ภาพที่ 5-4 ภาพแสดงผลการทดสอบ Turbo Code ของ Yufei Wu โดยเทียบ ระหว่าง BER กับ Eb/N0 โดยใช้ ความยาวเฟรม = 400 บิต, $G = (1\ 1\ 1, 1\ 0\ 1)$, ที่ rate = 1/3	58
ภาพที่ 5-5 ภาพแสดงผลการทดสอบโปรแกรมสร้างแบบจำลองช่องสัญญาณ Rayleigh Fading ที่ ความเร็วเครื่องรับ 100 km/hr ความถี่พาร์ 900 MHz.....	59
ภาพที่ 5-6 ภาพแสดงผลการทดสอบ Rayleigh Fading ของ Moataz Mohamed Salah.....	59
ภาพที่ 5-7 ภาพแสดงความสัมพันธ์ระหว่าง Average Weight กับ Bit Distance (ความยาวเฟรม 40 บิต).....	61
ภาพที่ 5-8 ภาพแสดงความสัมพันธ์ระหว่าง Average Weight กับ Bit Distance (ความยาวเฟรม 1024 บิต).....	62
ภาพที่ 5-9 ภาพแสดงความสัมพันธ์ระหว่าง Average Weight กับ Bit Distance (ความยาวเฟรม 16384 บิต).....	63
ภาพที่ 5-10 ภาพแสดงผลการทดสอบโปรแกรม Turbo Code เทียบระหว่าง BER กับ Eb/N0 โดยใช้ ความยาวเฟรม 40 บิต, $G = (1\ 1\ 1, 1\ 0\ 1)$, ที่ rate = 1/2.....	64
ภาพที่ 5-11 ภาพแสดงผลการทดสอบโปรแกรม Turbo Code เทียบระหว่าง FER กับ Eb/N0 โดยใช้ ความยาวเฟรม 40 บิต, $G = (1\ 1\ 1, 1\ 0\ 1)$, ที่ rate = 1/2.....	65
ภาพที่ 5-12 ภาพแสดงผลการทดสอบโปรแกรม Turbo Code เทียบระหว่าง BER กับ Eb/N0 โดยใช้ ความยาวเฟรม 1024 บิต, $G = (1\ 0\ 0\ 1\ 1, 1\ 1\ 1\ 0\ 1)$, ที่ rate = 1/2.....	66
ภาพที่ 5-13 ภาพแสดงผลการทดสอบโปรแกรม Turbo Code เทียบระหว่าง FER กับ Eb/N0 โดยใช้ ความยาวเฟรม 1024 บิต, $G = (1\ 0\ 0\ 1\ 1, 1\ 1\ 1\ 0\ 1)$, ที่ rate = 1/2.....	67
ภาพที่ 5-14 ภาพแสดงผลการทดสอบโปรแกรม Turbo Code เทียบระหว่าง BER กับ Eb/N0 โดยใช้ ความยาวเฟรม 16384 บิต, $G = (1\ 0\ 0\ 1\ 1, 1\ 1\ 1\ 0\ 1)$, ที่ rate = 1/2.....	68
ภาพที่ 5-15 ภาพแสดงผลการทดสอบโปรแกรม Turbo Code เทียบระหว่าง FER กับ Eb/N0 โดยใช้ ความยาวเฟรม 16384 บิต, $G = (1\ 0\ 0\ 1\ 1, 1\ 1\ 1\ 0\ 1)$, ที่ rate = 1/2.....	69

บทที่ 1

บทนำ

1.1 ความเป็นมา

การสื่อสารข้อมูลได้รับการพัฒนาอย่างต่อเนื่องมาตลอด ทั้งนี้เป็นเพราะต้องการให้ข้อมูลถูกต้องและมีประสิทธิภาพ การเข้ารหัสและการถอดรหัสสัญญาณจึงเป็นส่วนที่มีความสำคัญมาก ในปัจจุบัน

Turbo Code ถูกคิดค้นเมื่อปี ก.ศ. 1993 โดย Berrou, Glavieux และ Thitimajshima ซึ่งชื่อ Turbo Code มาจากส่วนที่เป็นการถอดรหัสที่ทำงานคล้ายกับเครื่องยนต์ Turbocharger โดยการถอดรหัสจะอาศัยการนำข้อมูลที่เป็นผลลัพธ์จากการถอดรหัสชุดอื่นมาช่วยในการถอดรหัส และทำการวนถอดรหัสหลายรอบ Turbo Code เป็นการเข้ารหัสและถอดรหัสแบบ Parallel Concatenated Convolutioncode (PCCC) ซึ่งมีความสามารถในการแก้ไขข้อผิดพลาดของข้อมูลที่มีประสิทธิภาพมากกว่าการเข้ารหัสและถอดรหัสแบบอื่น โดยทำให้ข้อมูลมีอัตราความผิดพลาดต่อบิต (BER, Bit Error Rate) น้อยมากขณะที่ส่งข้อมูลด้วยอัตราของพลังงานต่อสัญญาณรับกวน (SNR, Signal to Noise Ratio) มีค่าต่ำ [1]

ดังนั้น โครงการนี้จึงทำการศึกษาการเข้ารหัสและถอดรหัสแบบ Turbo Code เพื่อสร้างโปรแกรมแบบจำลองการเข้ารหัสและถอดรหัสแบบ Turbo Code และสร้างเครื่องมือสร้างแบบจำลองการเข้ารหัสและถอดรหัสแบบ Turbo Code (Turbo Code Toolbox) เพื่อความสะดวกในการใช้งาน และทำการปรับปรุงการเข้ารหัสและถอดรหัสแบบ Turbo Code ในส่วนที่เป็น Deterministically Generate Interleaver เพื่อศึกษาผลการเข้ารหัสและถอดรหัสแบบ Turbo Code ที่ใช้ Interleaver ต่างกัน เพราะในอนาคตการเข้ารหัสและถอดรหัสแบบ Turbo Code อาจสามารถรองรับเทคโนโลยีใหม่แทนที่การเข้ารหัสและถอดรหัสแบบที่ใช้ในปัจจุบัน

1.2 วัตถุประสงค์ของโครงการ

- ศึกษาการทำงานของการเข้ารหัสและถอดรหัสแบบ Turbo Code และแบบจำลองช่องสัญญาณ (Channel Model) ซึ่งประกอบด้วย AWGN (Additive White Gaussian Noise), Ricean Fading และ Rayleigh Fading
- สร้างเครื่องมือสร้างแบบจำลอง Turbo Code สำหรับ โปรแกรม Matlab
- ปรับปรุงประสิทธิภาพ Turbo Code ในส่วนที่เป็น Deterministically Generate Interleaver
- วิเคราะห์ประสิทธิภาพของ Turbo Code เมื่อใช้ Interleaver ต่างชนิดกันที่ความยาวเฟรมต่างกัน

1.3 ขอบเขตของโครงการ

โครงการนี้ทำการศึกษาระบวนการทำงานของการเข้ารหัสและถอดรหัสแบบ Turbo Code เพื่อปรับปรุงประสิทธิภาพในส่วนที่เป็น Interleaver และเครื่องมือสร้างแบบจำลองการเข้ารหัสและถอดรหัสแบบ Turbo Code แล้วเปรียบเทียบวิเคราะห์ประสิทธิภาพของ Turbo Code เมื่อใช้ Interleaver ต่างชนิดกันที่ความยาวเฟรมต่างกัน

1.4 ขั้นตอนการดำเนินงาน

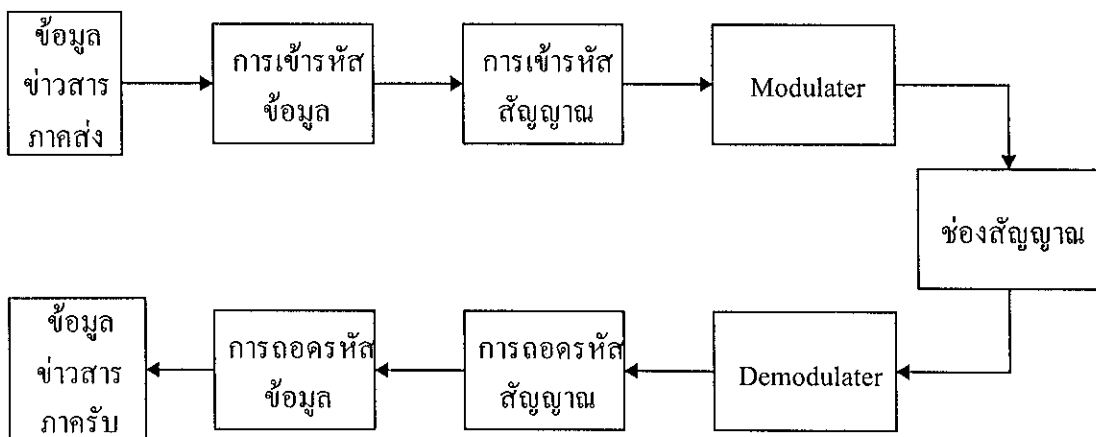
- ศึกษาทฤษฎี Turbo Code ทั้งส่วนที่เป็น Encoder และ Decoder
- ศึกษาการเขียน โปรแกรมการทำงานการเข้ารหัสและถอดรหัสแบบ Turbo Code
- ศึกษาเกี่ยวกับ Simulink ของ โปรแกรม Matlab
- สร้างเครื่องมือสร้างแบบจำลอง Turbo Code สำหรับ โปรแกรม Matlab
- ศึกษาแบบจำลองช่องสัญญาณ ซึ่งประกอบด้วย AWGN , Ricean Fading และ Rayleigh Fading
- ปรับปรุงประสิทธิภาพ Turbo Code ในส่วนที่เป็น Interleaver
- สร้างโปรแกรมของแบบจำลองช่องสัญญาณ และ Interleaver ต่างๆ ซึ่งทั้งส่วนที่เป็น M-file function และเครื่องมือสร้างแบบจำลอง สำหรับ โปรแกรม Matlab
- วิเคราะห์ผล Turbo Code เมื่อใช้ Interleaver ต่างชนิดกันที่ความยาวเฟรมต่างกัน
- สรุปผลการทำงาน

บทที่ 2

ทฤษฎีของการเข้ารหัสและถอดรหัส

การสื่อสารข้อมูลในระบบโทรคมนาคม มีปัญหาเกี่ยวกับสัญญาณรบกวนทั้งในระบบ และสัญญาณรบกวนในขณะที่ส่งผ่านช่องสัญญาณ ทำให้เกิดความผิดพลาดของข้อมูล จึงจำเป็นที่ระบบต้องมีการตรวจสอบความผิดพลาดข้อมูล (Error Detection) และมีความสามารถในการแก้ไขข้อผิดพลาดของข้อมูล (Error Correction) หรือป้องกันข้อผิดพลาดได้ (Error Preventing) [2]

การเข้ารหัสเพื่อตรวจสอบความผิดพลาดข้อมูล เป็นการเข้ารหัสโดยการเพิ่ม Parity Check Bit เพื่อจะตรวจสอบว่าข้อมูลมีความผิดพลาดหรือไม่ ซึ่งตรวจสอบได้ในระดับหนึ่ง ถ้าพบว่ามีความผิดพลาดภารรับจะส่งคำสั่งให้ภาคส่งส่งข้อมูลมาใหม่ หรือถ้าภาคส่งไม่ได้รับข้อมูลจนเกินช่วงเวลาหนึ่ง (Timeout) ภาคส่งจะส่งข้อมูลเดิมอีกครั้ง เรียกว่า ARQ (Automatic Repeat Request) ในรายงานนี้จะกล่าวเฉพาะส่วนที่เป็นการเข้ารหัสเพื่อแก้ไขข้อผิดพลาดของข้อมูล ได้แก่ การเข้ารหัสที่มีการถอดรหัสแบบ FEC (Forward Error Correction) [2] โดยการเพิ่ม Redundancy Check Bit ใน การเข้ารหัสเพื่อสามารถแก้ไขข้อมูลที่ผิดพลาดได้ในการถอดรหัส ซึ่งขึ้นอยู่กับวิธีการเข้ารหัสและถอดรหัสแบบต่างๆ



ภาพที่ 2-1 ภาพแสดงระบบสื่อสารข้อมูล

ภาพที่ 2-1 เป็นภาพระบบสื่อสารข้อมูล โดยเริ่มจากการเข้ารหัสข้อมูลข่าวสาร แล้วนำสัญญาณข่าวสารที่ได้มาเข้ารหัสเพิ่ม Redundancy Check Bit เป็นผลลัพธ์การเข้ารหัสข้อมูล (Code word) เพื่อทำการ modulation (Modulated) ส่งออก เมื่อสัญญาณจากภาคส่งผ่านช่องสัญญาณทำให้สัญญาณที่ส่งออกเปลี่ยนแปลง เมื่อจากสัญญาณรบกวนจากสิ่งแวดล้อมต่างๆ เมื่อนำสัญญาณที่รับมาทำการ demodulation (Demodulated) ได้เป็นรหัสข้อมูล จึงนำไปถอดรหัสเพื่อให้เป็นสัญญาณข่าวสาร ในขั้นตอนนี้จะช่วยตรวจสอบความผิดพลาด แก้ไขข้อผิดพลาดได้ เมื่อจากการเข้ารหัสและถอดรหัสแบบต่างๆ แล้วนำสัญญาณข่าวสารมาถอดรหัสข้อมูลเป็นข่าวสารที่ต้องการ

การเข้ารหัสและถอดรหัสเพื่อแก้ไขข้อผิดพลาดของข้อมูล หรือป้องกันข้อผิดพลาด มีการเข้ารหัสและถอดรหัสด้วยกันหลายแบบ ซึ่งรายงานฉบับนี้จะกล่าวถึง 3 แบบ ได้แก่ Linear Block Code, Convolutional Code และ Turbo Code เมื่อจาก Linear Block Code เป็นการเข้ารหัสและถอดรหัสแบบเบื้องต้นที่เป็นพื้นฐานการเข้ารหัสและถอดรหัสแบบอื่น และ Convolutional Code เป็นการเข้ารหัสและถอดรหัสที่มีส่วนเกี่ยวข้องกับการเข้ารหัสและถอดรหัสแบบ Turbo Code [3]

2.1 Linear Block Code

Linear Block Code เป็นการเข้ารหัสแบบ FEC โดยอาศัยการเข้ารหัสสร้าง Syndrome สำหรับสร้างรหัสข้อมูล ในการเข้ารหัส และตรวจสอบความผิดพลาดของข้อมูลพร้อมแก้ไขข้อมูลที่ผิดพลาด ในการถอดรหัส

2.1.1 การเข้ารหัส Linear Block Code

Linear Block Code แสดงด้วย Code (n, k) ทำให้ได้ผลลัพธ์การเข้ารหัสข้อมูล ซึ่งประกอบด้วยข้อมูลจำนวน k บิต และ Redundancy Check Bit จำนวน $n - k$ บิต และได้ผลลัพธ์รหัสข้อมูลที่ลูกต้อง (Subspace S) จำนวน 2^k ชุด จากผลลัพธ์รหัสข้อมูล (Space V) ทั้งหมดจำนวน 2^n ชุด

การเข้ารหัสเพื่อให้ได้ผลลัพธ์การเข้ารหัสข้อมูล (U) จากข้อมูลที่รหัส โดยนำเมตริกของข้อมูล (m , Message) จำนวน k บิต คูณกับ เมตริกของรหัส (G , Generator Matrix) ดังสมการที่ 2-1 ซึ่งเมตริกของรหัส (G) ประกอบด้วย Arbitrary Matrix (P) ขนาด $(k, n - k)$ และ เมตริกคุณสมบัติ (I , Identity Matrix) ขนาด (k, k) ดังสมการที่ 2-2

$$U = mG$$

สมการที่ 2-1

$$G = [P_{k,n-k} | I_k]$$

สมการที่ 2-2

ตัวอย่าง การเข้ารหัส Linear Block Code

$$\text{กำหนดให้ } G = \left[\begin{array}{ccc|ccc} 0 & 1 & 1 & 1 & 0 & 0 \\ 1 & 0 & 1 & 0 & 1 & 0 \\ 1 & 1 & 0 & 0 & 0 & 1 \end{array} \right]$$

จะได้ผลการเข้ารหัสดังตารางที่ 2-1

ข้อมูล (m)	ผลการเข้ารหัสข้อมูล (U)
0 0 0	0 0 0 0 0 0
0 0 1	1 1 0 0 0 1
0 1 0	1 0 1 0 1 0
0 1 1	0 1 1 0 1 1
1 0 0	0 1 1 1 0 0
1 0 1	1 0 1 1 0 1
1 1 0	1 1 0 1 1 0
1 1 1	0 0 0 1 1 1

ตารางที่ 2-1 ตารางแสดงตัวอย่างการเข้ารหัส Linear Block Code

2.1.2 การถอดรหัส Linear Block Code

เนื่องจากการเข้ารหัสเพื่อให้ได้ผลลัพธ์การเข้ารหัสข้อมูล (U) ซึ่งจะประกอบด้วยบิตข้อมูล และ Redundancy Check Bit เมื่อมีความผิดพลาดของข้อมูลการถอดรหัสจะตรวจสอบว่าข้อมูลบิตใดผิด แล้วจึงแก้ไข โดยเริ่มจากสร้าง Parity Check Matrix (H^T) จาก เมตริกของรหัส (G) ดังสมการที่ 2-3 ถึงสมการที่ 2-6

$$GH^T = [0]$$

สมการที่ 2-3

$$H = \begin{bmatrix} I_{n-k} | P^T \end{bmatrix}$$

สมการที่ 2-4

$$H^T = \begin{bmatrix} I_{n-k} \\ P_{k,n-k} \end{bmatrix}$$

สมการที่ 2-5

$$GH^T = \begin{bmatrix} P_{k,n-k} | I_k \end{bmatrix} \times \begin{bmatrix} I_{n-k} \\ P_{k,n-k} \end{bmatrix} = [0]$$

สมการที่ 2-6

จากสมการที่ 2-1 และสมการที่ 2-6 จะได้ผลดังสมการที่ 2-7

$$UH^T = mGH^T = m[0] = [0]$$

สมการที่ 2-7

กำหนดให้ R เป็นบิตที่รับได้ และ e เป็นข้อมูลที่แสดงบิตที่ผิดพลาด ดังนั้นจะได้ดังสมการที่ 2-8 สามารถหา กลุ่มบิตที่แสดงความผิดพลาด (S , Error Syndrome) ได้ดังสมการที่ 2-9

$$R = U + e$$

สมการที่ 2-8

$$S = RH^T = (U + e)H^T = eH^T$$

สมการที่ 2-9

จากสมการที่ 2-9 ถ้า $R = U + e = U$ จะทำให้ $S = [0]$ ซึ่งแสดงว่าไม่เกิดการผิดพลาดของข้อมูล สามารถถอดรหัสข้อมูลได้จากตารางที่ 2-1

2.1.2.1 การตรวจสอบความผิดพลาดข้อมูล

Linear Block Code ที่แสดงด้วย Code (n, k) จะได้ผลลัพธ์รหัสข้อมูลทั้งหมดจำนวน 2^n ชุด และได้ผลลัพธ์รหัสข้อมูลที่ถูกต้องจำนวน 2^k ชุด ซึ่งหากเกิดความผิดพลาดของข้อมูล จนเปลี่ยนเป็นผลลัพธ์รหัสข้อมูลอีกตัวก็ไม่สามารถตรวจสอบว่าข้อมูลผิดพลาดได้ ดังนั้นจำนวนชุดข้อมูลที่ผิดพลาดแล้วสามารถตรวจสอบได้เป็นจำนวน $2^n - 2^k$ ชุด

2.1.2.2 การแก้ไขข้อผิดพลาดของข้อมูล

การแก้ไขข้อผิดพลาดของข้อมูลสามารถปฏิบัติ โดยเริ่มจากการสร้างตารางแสดงกลุ่มนบิตที่แสดงความผิดพลาด (S) ซึ่งสามารถสร้างได้จากการนำข้อมูลที่แสดงบิตที่ผิดพลาด (e) คูณกับ Parity Check Matrix (H^T) ดังสมการที่ 2-9

ตัวอย่าง การแก้ไขข้อผิดพลาด Linear Block Code

$$\text{จาก } G = \left[\begin{array}{ccc|ccc} 0 & 1 & 1 & 1 & 0 & 0 \\ 1 & 0 & 1 & 0 & 1 & 0 \\ 1 & 1 & 0 & 0 & 0 & 1 \end{array} \right]$$

สร้างตารางแสดงกลุ่มนบิตที่แสดงความผิดพลาด (S) เพื่อตรวจสอบข้อมูลที่แสดงบิตที่ผิดพลาด (e) ได้ดังสมการที่ 2-9 ดังผลในตารางที่ 2-2

นำข้อมูลที่แสดงบิตที่ผิดพลาด e	กลุ่มนบิตที่แสดงความผิดพลาด S
0 0 0 0 0 0	0 0 0
0 0 0 0 0 1	1 1 0
0 0 0 0 1 0	1 0 1
0 0 0 1 0 0	0 1 1
0 0 1 0 0 0	0 0 1
0 1 0 0 0 0	0 1 0
1 0 0 0 0 0	1 0 0
0 0 1 0 0 1	1 1 1

ตารางที่ 2-2 ตารางแสดงตัวอย่างกลุ่มนบิตที่แสดงความผิดพลาด S

2.1.2.3 ประสิทธิภาพของ Linear Block Code

เนื่องจาก Linear Block Code ไม่สามารถตรวจสอบความผิดพลาดข้อมูล และแก้ไขข้อผิดพลาดของข้อมูลได้ทุกรูปนี้ จึงสามารถหาประสิทธิภาพในการตรวจสอบความผิดพลาด ข้อมูล และการแก้ไขข้อผิดพลาดของข้อมูล ได้จาก Hamming Weight (d), Hamming Distance (W) และ Minimum Distance (d_{\min}) ของผลลัพธ์การเข้ารหัสข้อมูล 2 ชุด [2] โดย Hamming Weight แสดงถึงจำนวนบิต "1" ในผลลัพธ์การเข้ารหัสข้อมูลแต่ละชุด Hamming Distance แสดงถึงจำนวนบิตที่แตกต่างกันในผลลัพธ์การเข้ารหัสข้อมูล 2 ชุด และ Minimum Distance แสดงถึงจำนวนบิตที่แตกต่างกันน้อยที่สุดในผลลัพธ์การเข้ารหัสข้อมูล

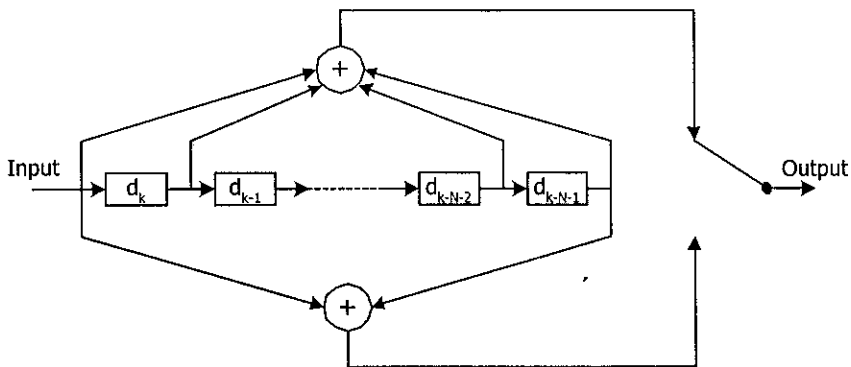
จำนวนรหัสที่สามารถตรวจสอบความผิดพลาดข้อมูลเป็น ($d_{\min} - 1$) จำนวน และจำนวนรหัสที่สามารถแก้ไขข้อผิดพลาดของข้อมูลให้ถูกต้องเป็น $\frac{1}{2}(d_{\min} - 1)$ จำนวน

2.2 Convolutional Code

Convolutional Code เป็นวิธีการเข้ารหัสและถอดรหัสแบบ FEC ที่มีความสามารถในการแก้ไขข้อผิดพลาดของข้อมูลที่มีประสิทธิภาพมากกว่า Linear Block Code เนื่องจากการเข้ารหัสแบบ Convolutional Code อาศัยคำดับของสถานะที่ต่อเนื่องกันจากข้อมูลที่จะทำการเข้ารหัส ดังนั้นการถอดรหัสจึงไม่ได้ถอดรหัสเป็นชุดย่อยๆ เหมือนกับ Linear Block Code แต่อาศัยข้อมูลที่รับมาได้ทั้งหมดในการถอดรหัส และ Convolutional Code ยังใช้ในระบบโทรศัพท์เคลื่อนที่ในปัจจุบัน [3]

2.2.1 Convolutional Encoder

Convolutional Encoder สามารถเข้ารหัสได้โดยใช้ Tapped Shift Register และ Modulo – 2 โดยผลของการเข้ารหัส 1 บิต จะทำให้เกิดผลการเข้ารหัสหลายบิต และการเข้ารหัสของแต่ละบิตจะขึ้นอยู่กับบิตที่ทำการเข้ารหัส และบิตที่ผ่านมา [4]



ภาพที่ 2-2 ภาพแสดง Convolutional Encoder

ภาพที่ 2-2 เป็นภาพแสดงวงจร Convolutional Encoder ที่ใช้ Code Generator 2 ชุด ทำให้ได้ผลการเข้ารหัสที่มี rate = $\frac{1}{2}$ และได้จำนวนสถานะ state = 2^{N-1} สถานะ ซึ่งเป็นผลจากจำนวน Register ที่ใช้

ตัวอย่าง Convolutional Encoder $G = (5,2)$, rate = $\frac{1}{2}$

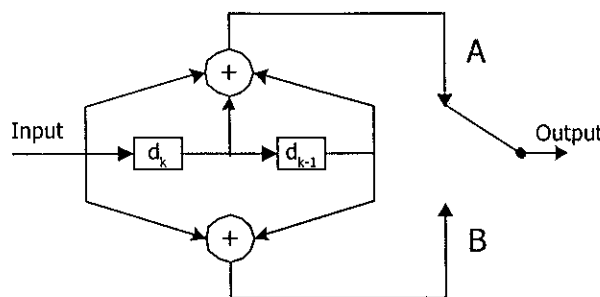
$G = (5,2)$ เป็นการแสดงถึงรหัสในเลขฐาน 8 เพื่อความสะดวก ซึ่งเมื่อเข้ารหัสจะใช้เลขฐาน 2 ดังนี้ $G = (1\ 1\ 1, 1\ 0\ 1)$ Code Generator แรก $(1\ 1\ 1)$ และ Code Generator สอง $(1\ 0\ 1)$ แสดงถึงผลลัพธ์ของการเข้ารหัสตัวแรก และ Code Generator สอง $(1\ 0\ 1)$ แสดงถึงผลลัพธ์ของการเข้ารหัสตัวที่สอง ซึ่งเกิดจากความสัมพันธ์จากบิตที่ผ่านการเข้ารหัส 2 ตัวที่ได้เข้ารหัสก่อนหน้านี้คือ d_{k-1} และ d_{k-2} ดังภาพที่ 2-2 ผลลัพธ์ A ได้จากการ Modulo - 2 ระหว่าง d_k , d_{k-1} และ d_{k-2} และ ผลลัพธ์ B ได้จากการ Modulo - 2 ระหว่าง d_k และ d_{k-2} ทำให้ผลลัพธ์จากการเข้ารหัสของบิต d_k เป็นคังสมการที่

$$A_k = d_k \oplus d_{k-1} \oplus d_{k-2} \quad \text{สมการที่ 2-10}$$

$$\text{หรือ } A_k = (d_k + d_{k-1} + d_{k-2}) \pmod{2} \quad \text{สมการที่ 2-11}$$

$$B_k = d_k \oplus d_{k-2} \quad \text{สมการที่ 2-12}$$

$$\text{หรือ } B_k = (d_k + d_{k-2}) \pmod{2} \quad \text{สมการที่ 2-13}$$

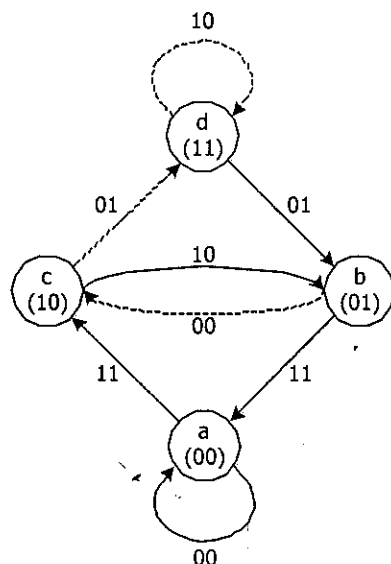


ภาพที่ 2-3 ภาพแสดง Convolutional Encoder, $G = (5,2)$

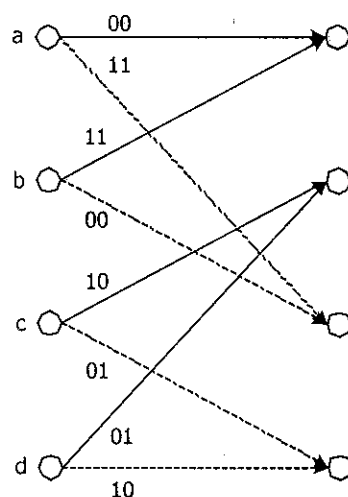
จากภาพที่ 2-3 สามารถแสดงให้เห็นถึงการเข้ารหัสแบบ Convolutional ได้ในระดับหนึ่งเพื่อให้สะดวกขึ้นจึงแสดงผลการเข้ารหัสแบบ Convolutional ดังในตารางที่ 2-3

สถานะเริ่มต้น	บิตข้อมูล	ข้อมูล	บิตผลลัพธ์	สถานะ
$a : (0,0)$	0	000	00	$a : (0,0)$
	1	100	11	$c : (1,0)$
$b : (0,1)$	0	001	11	$a : (0,0)$
	1	101	00	$c : (1,0)$
$c : (1,0)$	0	010	10	$b : (0,1)$
	1	110	01	$d : (1,1)$
$d : (1,1)$	0	011	01	$b : (0,1)$
	1	111	10	$d : (1,1)$

ตารางที่ 2-3 ตารางแสดงผล Convolutional Encoder, $G = (5,2)$



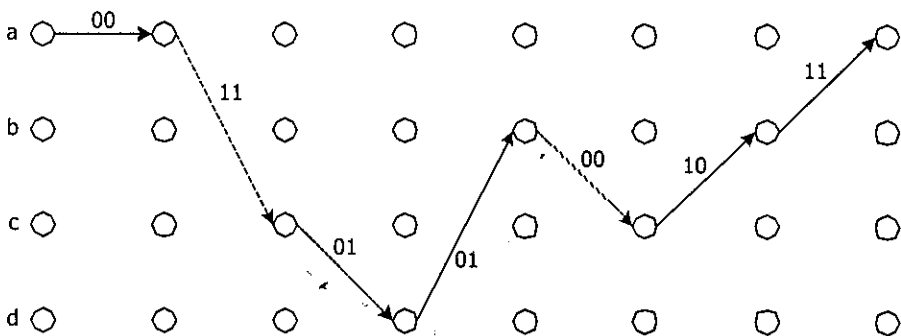
ภาพที่ 2-4 ภาพแสดงแผนผังของสถานะ Convolutional Encoder, $G = (5,2)$



ภาพที่ 2-4 ภาพแสดง Trellis Diagrams ของ Convolutional Encoder, $G = (5,2)$

Convolutional Code สามารถแสดงการเข้ารหัสด้วย แผนผังของสถานะ (State Diagrams) ดังภาพที่ 2-4 และสามารถแสดงด้วย Trellis Diagrams ดังแสดงในภาพที่ 2-5 ซึ่งภายในวงกลมแสดงถึงสถานะ เส้นทึบแสดงถึงบิตที่ต้องการเข้ารหัสเป็น 0 เส้นประแสดงถึงบิตที่ต้องการเข้ารหัสเป็น 1 และ ตัวเลขที่อยู่บนเส้นแสดงถึงผลลัพธ์การเข้ารหัส และยังแสดงการเข้ารหัสด้วย

ตัวอย่าง การเข้ารหัส Convolutional Code, $G = (1\ 1\ 1, 1\ 0\ 1)$ ด้วย Trellis Diagrams
กำหนดให้ ข้อมูลบิตที่ทำการเข้ารหัสเป็น $0\ 1\ 1\ 0\ 1\ 0\ 0$



ภาพที่ 2-4 ภาระแสดงการเข้ารหัส Convolutional Code, $G = (5,2)$ ด้วย Trellis Diagrams

จากภาพที่ 2-4 จะได้ผลลัพธ์การของเข้ารหัสแบบ Convolutional Code เป็น

$0\ 0\ 1\ 1\ 0\ 1\ 0\ 1\ 0\ 0\ 1\ 0\ 1\ 1$

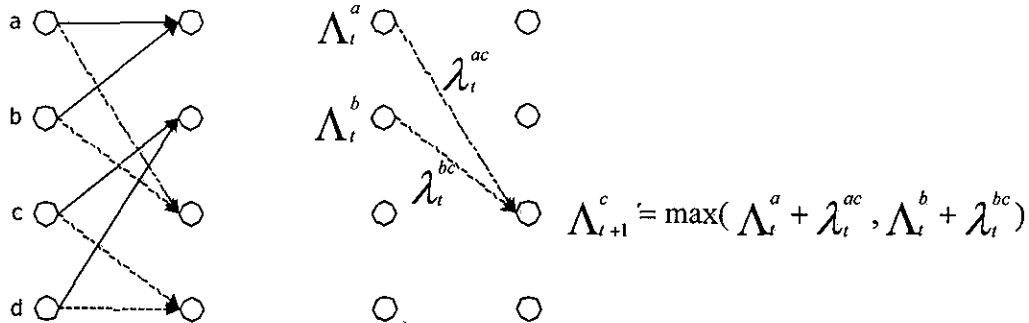
2.2.2 Convolutional Decoder (Viterbi Decoding)

เนื่องจากการเข้ารหัสแบบ Convolutional Code การเข้ารหัสของแต่ละบิตจะมีส่วนอยู่กับบิตที่ทำการเข้ารหัส และบิตที่ผ่านมา หรือ สถานะปัจจุบันนี้ การถอดรหัสจึงต้องคำนึงถึงบิตที่รับมาอยู่สถานะใด และจะถอดรหัสออกมานเป็นบิตอะไร และยังสามารถแก้ไขข้อมูลที่ผิดให้ถูก ต้องได้ การถอดรหัส Convolutional Code จำเป็นต้องใช้ Trellis Diagrams [4] ซึ่งรายงานจะกล่าวถึง การถอดรหัสโดยอาศัย Viterbi Decoding

Viterbi Decoding อาศัยความน่าจะเป็นระหว่างสถานะในการถอดรหัสว่าข้อมูลที่เข้ามาสถานะที่คำนวณ (s) ควรเป็นข้อมูลจากสถานะใดที่ผ่านมา (s') โดยประมาณผลจากบิทข้อมูลที่รับ จากข้อมูลที่มี 2^{N-1} สถานะ สามารถหาค่าเมทริก Λ_{t+1}^s ซึ่งเป็นสิ่งแสดงความน่าจะเป็นว่าที่สถานะ s ณ เวลา $t+1$ ควรจะมาเปลี่ยนมากจากสถานะ s' ได้ ณ เวลา t ได้ดังสมการที่ 2-14 โดยที่ค่า $\Lambda_t^{s'}$ เป็นค่าแสดงถึงความแตกต่างระหว่างค่าที่รับมาได้กับค่าผลลัพธ์จากการเข้ารหัสของสถานะ s' ไปยังสถานะ s [4]

$$\Lambda_{t+1}^s = \max_{s'} (\Lambda_t^{s'} + \lambda_t^{s's})$$

สมการที่ 2-14



ภาพที่ 2-5 ภาพแสดงการคำนวณเมตทริกสำหรับ Viterbi Trellis Decoding

ตัวอย่าง การถอดรหัส Convolutional Code โดย Viterbi Trellis Decoding กำหนดให้ ข้อมูลบิตที่ทำรับได้เป็น 1 0 1 1 0 1 0 0 0 0 1 0 1 1

ขั้นตอนในการถอดรหัส Convolutional Code โดย Viterbi Trellis Decoding

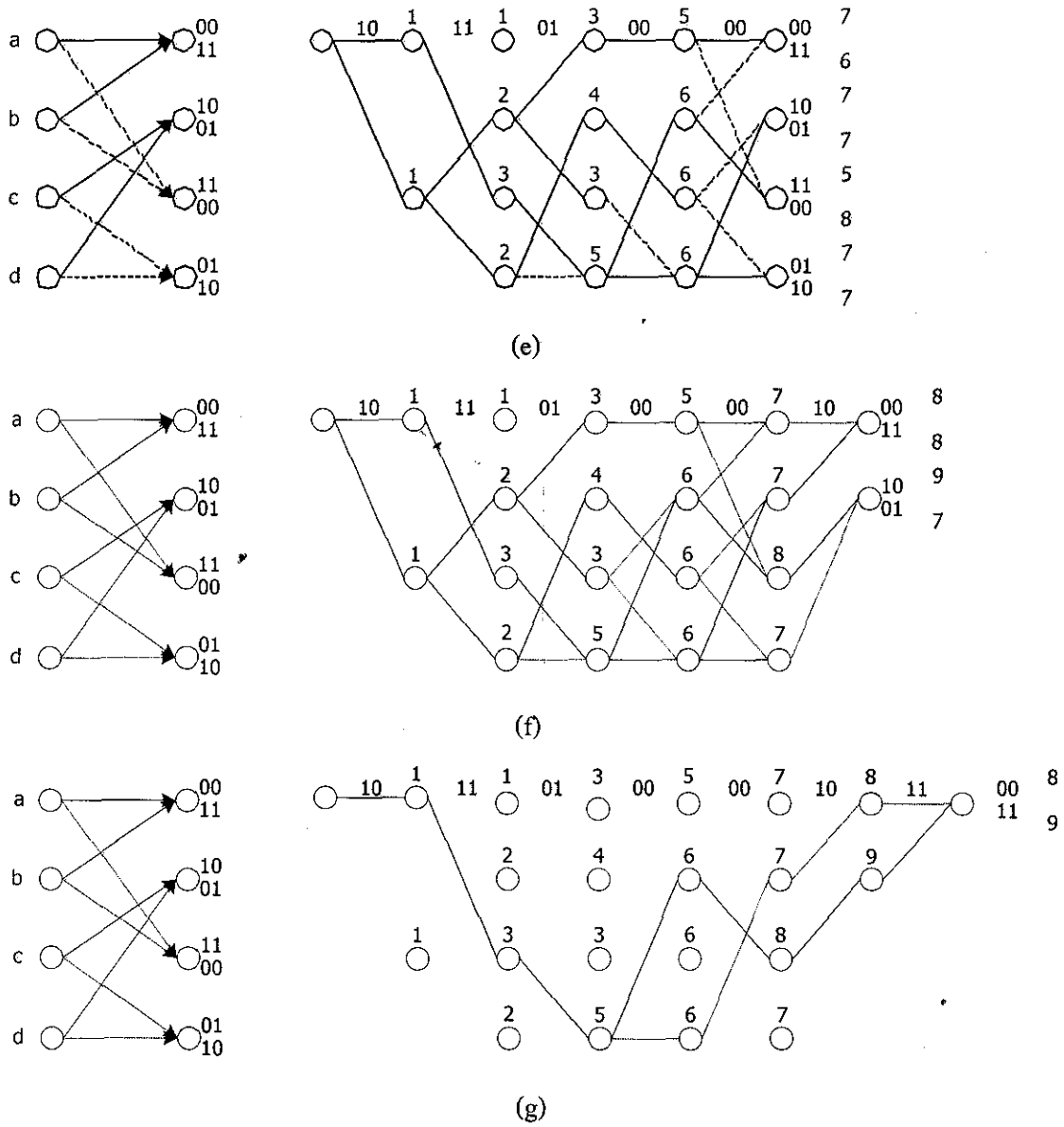
ขั้นที่ 1 เริ่มจากข้อมูลเริ่มต้นจะเริ่มที่เวลา $t=0$ สถานะ $a(0,0)$ เพราะใน Ship Register ยังไม่มีข้อมูล และจะได้เมตทริก $\Lambda_0^a = 0$ ดังนั้น จากสถานะ $a(0,0)$ จะไปยังสถานะ $b(0,1)$ หรือสถานะ $c(1,0)$ ด้วยข้อมูลที่ได้เป็น 0 0 หรือ 1 1 แต่ข้อมูลที่รับมาเป็น 1 0 คำนวณค่าเมตทริก $\Lambda_1^a = 1$ และ $\Lambda_1^c = 1$ ดังภาพที่ 2-6-a

ขั้นที่ 2 จากข้อมูลที่รับมาเป็น 1 1 คำนวณค่าเมตทริก $\Lambda_2^a = 1$, $\Lambda_2^b = 2$, $\Lambda_2^c = 3$ และ $\Lambda_2^d = 2$ ดังภาพที่ 2-6-b

ขั้นที่ 3 และ ขั้นที่ 4 คำนวณค่าเมตทริกจากค่าที่รับมาเพื่อตรวจว่ามาจากสถานะใด

ขั้นที่ 5 คำนวณค่าเมตทริกเฉพาะที่เปลี่ยนสถานะไปเป็นสถานะ $a(0,0)$ หรือ $b(0,1)$ เพื่อทำให้สถานะสุดท้ายเป็นสถานะ $a(0,0)$ ซึ่งกำหนดไว้จากการเข้ารหัส

ขั้นที่ 6 คำนวณค่าเมตทริกเฉพาะสถานะ $a(0,0)$ ซึ่งเป็นสถานะสุดท้าย แล้วหาเส้นทางการเข้ารหัสจากสถานะ $a(0,0)$ ที่เวลา $t=6$ ถึงสถานะ $a(0,0)$ ที่เวลา $t=0$ แล้วคำนวณการเข้ารหัสจากสถานะต่างๆ เป็นข้อมูลข่าวสาร

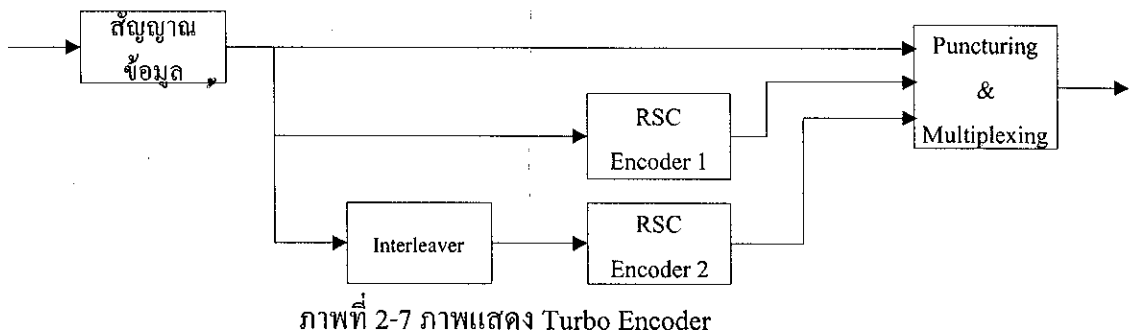


ภาพที่ 2-6 ภาพแสดงการถอดรหัส Viterbi Trellis Decoding

2.3 Turbo Code

2.3.1 Turbo Code Encoder

Turbo Code Encoder เป็นการเข้ารหัสที่ประกอบด้วย Recursive Systematic Convolutional (RSC) Encoder 2 ตัว [1] และส่วนประกอบที่มีความสำคัญด้วยกันในการเข้ารหัส 3 ส่วนด้วยกัน คือ Interleaver, RSC Encoder และ Puncturing and Multiplexing ดังแสดงในภาพที่ 2-7

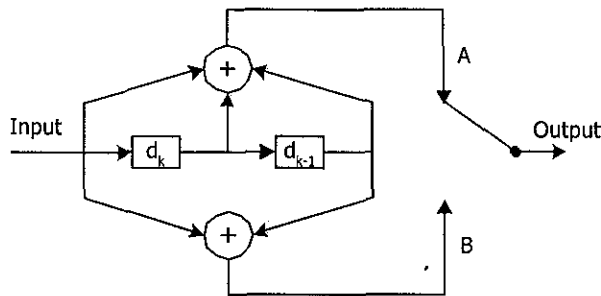


2.3.1.1 Interleaver

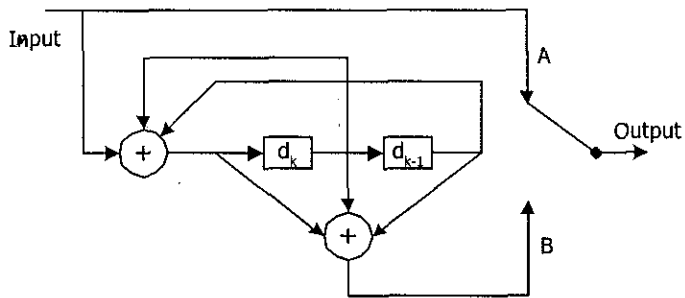
Interleaver เป็นส่วนสำคัญของการเข้ารหัสแบบ Turbo Code ทำหน้าที่สลับลำดับข้อมูลก่อนที่จะทำการเข้ารหัสแบบ RSC เพื่อสร้าง Redundancy Check Bit ของข้อมูลชุดเดียว กันให้มีความแตกต่างกัน ซึ่งปัจจุบัน Interleaver สำหรับ Turbo Code มี 2 ชนิด ได้แก่ Pseudo-Random Interleaver และ Deterministically Generated Interleaver [5] ซึ่งจะกล่าวในหัวข้อ 2.4

2.3.1.2 Recursive Systematic Convolutional Encoder

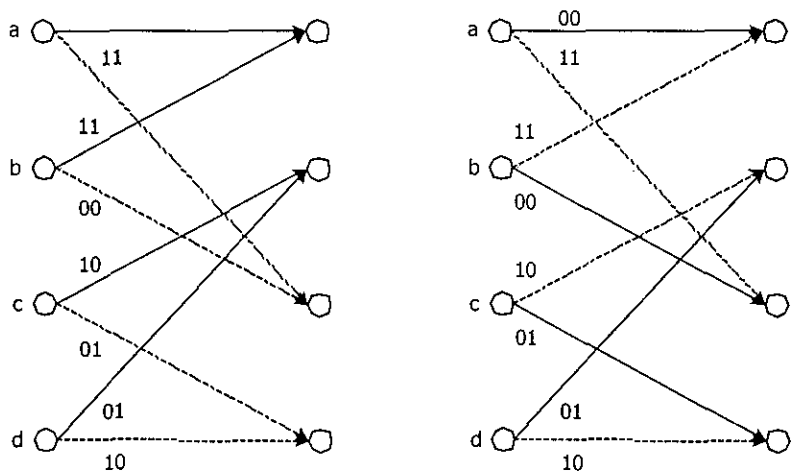
RSC Encoder เป็นตัวเข้ารหัสที่เหมาะสมกับ Turbo Code [1] ซึ่งความคล้ายกับ Convolutional Code แต่ Convolutional Code เป็น Nonsystematic Convolutional (NSC) Code และส่วนที่แตกต่างจาก Convolutional Code ได้แก่ วงจรเข้ารหัส และลำดับสถานะการเข้ารหัส



ภาพที่ 2-8 ภาพแสดง Nonsystematic Convolutional (NSC) Code



ภาพที่ 2-9 ภาพแสดง Recursive Systematic Convolutional (NSC) Code



ภาพที่ 2-10 ภาพแสดง Trellis Decoding ของ NSC Code และ RSC Code

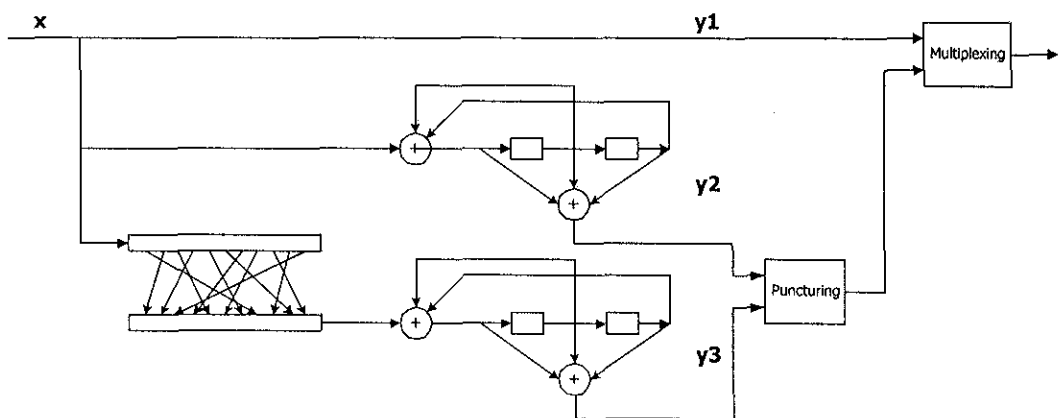
ภาพที่ 2-8 กับภาพที่ 2-9 แสดงให้เห็นข้อแตกต่างว่า NSC Code สถานะของ การเข้ารหัสจะขึ้นอยู่กับเฉพาะ บิตในปัจจุบัน แต่ RSC Code จะนำบิตที่ผ่านไปแล้ววนกลับมาใช้ ในการเป็นสถานะอีกครั้ง และผลลัพธ์ของ RSC Code ที่ได้จะประกอบด้วย บิตที่ทำการเข้ารหัส และ Redundancy Check Bit แต่ RSC Code จะให้ผลลัพธ์ที่เป็น Redundancy Check Bit และจาก ภาพที่ 2-10 พบว่าในทุกสถานะ RSC Code สามารถเกิดได้จากบิตที่เป็น 1 และ 0 แต่ NSC Code จะ เกิดได้จากบิตที่เข้ารหัสเป็นเฉพาะ 1 หรือ 0 เท่านั้น

2.3.1.3 Puncturing and Multiplexing

Puncturing เป็นส่วนที่กำหนดจำนวน Redundancy Check Bit ของ Turbo Code Encoder เพื่อส่งไป Multiplexing ทำให้มี rate ต่างกัน rate ที่มากที่สุด คือ $1/(n+1)$ เมื่อ n คือ จำนวน RSC Code ที่ใช้ในการเข้ารหัส

Multiplexing ทำหน้าที่รวมข้อมูลที่ส่งขนานกันมาให้เป็นข้อมูลที่อนุกรมกัน เพื่อที่จะทำการ Modulated ส่งออกเป็นสัญญาณ Pass Band

ตัวอย่าง Turbo Code Encoder ที่ประกอบด้วย Recursive Systematic Convolutional (RSC) Encoder เพียง 2 ตัว โดยใช้ Generator RSC Code, $G = [7,5]$ ดังแสดงในภาพที่ 2-11



ภาพที่ 2-11 ภาพแสดง Turbo Code Encoder ($G = [7,5]$)

2.3.2 Turbo Code Decoder (Iterative Decoding)

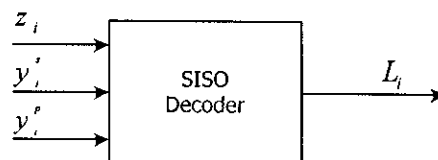
Turbo Code เป็นการเข้ารหัสที่มีการถอดรหัสที่อาศัยการนำค่าที่ถอดรหัสแล้วกลับมาคิดใหม่ด้วย เมื่อนำเครื่องยนต์ Turbocharger ซึ่งกระบวนการถอดรหัสดังนี้มีประสิทธิภาพที่จะช่วยแก้ข้อผิดพลาดที่เกิดขึ้น [1]

สำหรับปัญหาในการกำหนดสถานะของ Markov process เมื่อสัญญาณถูกรบกวนทำให้เกิดผลกระทบต่อ Trellis Base Solution มีวิธีที่นิยมใช้แก้ปัญหา 2 วิธี ได้แก่ Maximum A Posteriori (MAP) Algorithm และ Viterbi Algorithm ซึ่ง MAP Algorithm จะทำให้เกิดค่า Symbol Error Rate น้อย ตัวนั้น Viterbi Algorithm จะทำให้เกิดค่า FER น้อย [6]

ปัญหาในการถอดรหัส Turbo Code คือความซุ่มยากในการประมาณการต่อเนื่องของสถานะต่างๆ สำหรับการใช้ Hard-bit Decisions จะให้ผลเนื่องจากข้อมูล 2 ชุดที่มีความสัมพันธ์กันน้อยมาก จึงการมีอาศัย Soft-bit Decisions ซึ่งใช้การกระจายตัวแบบ A Posteriori Probability (APP) เป็นการกระจายตัวที่อาศัยความน่าจะเป็นในการเรียงลำดับโดยมีเงื่อนไขจากการรับค่าสัญญาณเข้ามา โดยจะสามารถหาค่า Log-Likelihood Ratio (L_i , LLR's) ดังสมการที่ 2-15

$$L_i = \ln \frac{P[m_i = 1 | y]}{P[m_i = 0 | y]} \quad \text{สมการที่ 2-15}$$

จากภาพที่ 2-12 SISO Decoder จะได้ค่า Log-Likelihood Ratio (L_i , LLR's) ดังสมการที่ 2- เมื่อ y_i คือ ค่าข้อมูลจริง (Systematic), y_i^p คือ ค่า Parity และ Z_i คือผลการถอดรหัสตัวอื่น



ภาพที่ 2-12 ภาพแสดง Soft -Input Soft-Output Decoder RSC Code

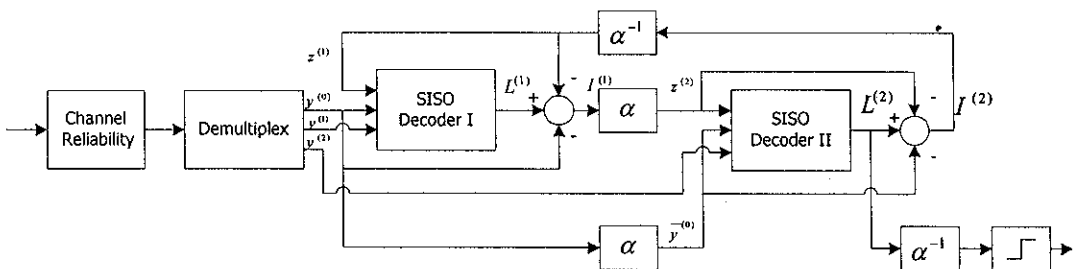
สำหรับค่า LLR's จะใช้ Channel Reliability (L_c) เป็นความน่าเชื่อถือของระดับในการรับสัญญาณจากช่องสัญญาณ ซึ่งคำนวณหาค่าได้ดังสมการที่ 2-16

$$L_c = \frac{4arE_b}{N_0}$$

$$= 4ar 10^{\frac{0.1E_b}{N_0} (dB)}$$

สมการที่ 2-16

กระบวนการถอดรหัสเริ่มจากการแยกข้อมูลที่ได้รับเป็น 3 ชุด ได้แก่ ข้อมูลป่าวสาร ($y^{(0)}$), ข้อมูลจากการเข้ารหัส RSC code ($y^{(1)}$) และข้อมูลจาก Interleaver และการเข้ารหัส RSC code ($y^{(2)}$) จากนั้นนำ $y^{(0)}$, $y^{(1)}$ และ $z^{(1)}$ ซึ่งเป็นผลจาก SISO Decoder II แต่ถ้าทำการถอดรหัสรอบแรก $z^{(1)}$ จะเป็นศูนย์ เมื่อข้อมูล 3 ชุด ผ่าน SISO Decoder I จะได้ผลลัพธ์เป็น $L^{(1)}$ นำ $L^{(1)}$ ลบกับค่า $z^{(1)}$ และ $y^{(0)}$ ได้ $I^{(1)}$ นำผลลัพธ์ $I^{(1)}$ ผ่าน Interleaver เพื่อให้ได้ข้อมูลที่มีความสัมพันธ์กับ $y^{(2)}$ ได้ผลลัพธ์เป็น $z^{(2)}$ นำ $y^{(0)}$ ที่ผ่าน Interleaver จะได้ $y^{(0)}$, $y^{(2)}$ และ $z^{(2)}$ ผ่าน SISO Decoder II จะได้ผลลัพธ์เป็น $L^{(2)}$ นำ $L^{(2)}$ ลบกับค่า $z^{(2)}$ และ $y^{(0)}$ ที่ผ่าน Interleaver ได้ $I^{(2)}$ นำผลลัพธ์ $I^{(2)}$ ผ่าน Invert Interleaver เพื่อให้ได้ข้อมูลที่มีความสัมพันธ์กับ $y^{(1)}$ จนครบจำนวนรอบการ Iterative แล้วจึงนำค่า $I^{(2)}$ ที่ได้ท้ายสุดผ่าน Invert Interleaver แล้วนำผลที่ได้ผ่านกระบวนการ hard-limiting ดังภาพที่ 2-13



ภาพที่ 2-13 ภาพแสดง Turbo Code Decoder

สำหรับ SISO Decoder ซึ่งมีวิธีที่นิยมใช้ 2 วิธี ได้แก่ MAP Algorithm และ Viterbi Algorithm พบว่า แต่ในรายงานนี้จะจึงกล่าวเฉพาะ MAP Algorithm

Symbol-by-Symbol MAP Algorithm เป็นกระบวนการกรอกอัตรา Trellis-Based Soft-Output ซึ่งแตกต่างกับ Viterbi Algorithm โดยที่ MAP ให้ค่าที่มากที่สุดของกระบวนการกรอกอัตรา Likelihood Trellis และค่าความน่าจะเป็นน้อยที่สุดที่ให้ผิดพลาด (Word Error Probability) ซึ่ง MAP จะให้ความน่าจะเป็นบิตที่ผิดพลาดที่ต่ำ

2.3.2.1 Maximum A Posteriori (MAP) Algorithm

MAP Algorithm เริ่มจากการคำนวณความน่าจะเป็นที่เป็นไปได้ของบิตต่อไปโดยคำนวณหาความน่าจะเป็นของสถานะต่อไป $P[s_i \rightarrow s_{i+1} | y]$ ดังสมการที่ 2-17 และสามารถใช้ Markov Process ดังสมการที่ 2-18 โดยค่าตัวแปรแสดงดังสมการที่ 2-19 ถึงสมการที่ 2-20

$$P[s_i \rightarrow s_{i+1} | y] = \frac{P[s_i \rightarrow s_{i+1}, y]}{P[y]} \quad \text{สมการที่ 2-17}$$

$$P[s_i \rightarrow s_{i+1} | y] = \alpha(s_i) \gamma(s_i \rightarrow s_{i+1}) \beta(s_{i+1}) \quad \text{สมการที่ 2-18}$$

$$\alpha(s_i) = P[s_i, (y_0, \dots, y_{i-1})] \quad \text{สมการที่ 2-19}$$

$$\gamma(s_i \rightarrow s_{i+1}) = P[s_{i+1}, y_i | s_i] \quad \text{สมการที่ 2-20}$$

$$\beta(s_{i+1}) = P[(y_{i+1}, \dots, y_{L-1}) | s_{i+1}] \quad \text{สมการที่ 2-21}$$

จากสมการที่ 2-20 สามารถเปลี่ยนรูปได้ดังสมการที่ 2-22 โดย m_i แสดงถึงข้อบูล และ x_i แสดงถึงผลการเข้ารหัสที่เปลี่ยนสถานะจาก $s_i \rightarrow s_{i+1}$ และ $P[m_i]$ หาได้จากการรับค่า z_i ดังสมการที่ 2-23 $P[y_i | x_i]$ ดังสมการที่ 2-24

$$\begin{aligned} \gamma(s_i \rightarrow s_{i+1}) &= P[s_{i+1} | s_i] P[y_i | s_i \rightarrow s_{i+1}] \\ &= P[m_i] P[y_i | x_i] \end{aligned} \quad \text{สมการที่ 2-22}$$

$$P[m_i] = \begin{cases} \frac{e^{z_i}}{1 + e^{z_i}} & : m_i = 1 \\ \frac{1}{1 + e^{z_i}} & : m_i = 0 \end{cases} \quad \text{สมการที่ 2-22}$$

$$P[y_i | x_i] = \frac{1}{\sqrt{\pi N_0 / E_s}} e^{-\frac{E_s}{N_0} \sum_{q=0}^{n-1} [y_i^q - a_i^{(q)}(2x_i^{(q)-1})]^2} \quad \text{สมการที่ 2-24}$$

ความน่าจะเป็นของ $\alpha(s_i)$ สามารถหาค่า Forward Recusion และ ความน่าจะเป็นของ $\beta(s_i)$ สามารถหาค่า Backward Recusion ดังสมการที่ 2-25 และสมการที่ 2-26

$$\alpha(s_i) = \sum_{s_{i-1}} \alpha(s_{i-1}) \gamma(s_{i-1} \rightarrow s_i) \quad \text{สมการที่ 2-25}$$

$$\beta(s_i) = \sum_{s_{i+1}} \beta(s_{i+1}) \gamma(s_i \rightarrow s_{i+1}) \quad \text{สมการที่ 2-26}$$

การหาความน่าจะเป็นของการเปลี่ยนสถานะ $P[s_i \rightarrow s_{i+1} | y]$ สามารถคำนวณได้ดังสมการที่ 2-27 และ สมการที่ 2-28

$$P[m_i = 1 | y] = \sum_{s_1} P[s_i \rightarrow s_{i+1} | y] \quad \text{สมการที่ 2-27}$$

$$P[m_i = 0 | y] = \sum_{s_0} P[s_i \rightarrow s_{i+1} | y] \quad \text{สมการที่ 2-28}$$

เมื่อ $S_1 = \{s_i \rightarrow s_{i+1} : m = 1\}$ คือการแสดงการเปลี่ยนสถานะจากสถานะหนึ่งไปยังสถานะตัดไปเมื่อข้อมูลเป็นบิต 1 และ $S_0 = \{s_i \rightarrow s_{i+1} : m = 0\}$ คือการแสดงการเปลี่ยนสถานะจากสถานะหนึ่งไปยังสถานะตัดไปเมื่อข้อมูลเป็นบิต 0 จะได้ค่า LLR's ดังสมการที่ 2-29

$$L_i = \ln \frac{\sum_{S_1} \alpha(s_i) \gamma(s_i \rightarrow (s_{i+1})) \beta(s_{i+1})}{\sum_{S_0} \alpha(s_i) \gamma(s_i \rightarrow (s_{i+1})) \beta(s_{i+1})} \quad \text{สมการที่ 2-29}$$

2.3.2.2 max-log-MAP Algorithm และ log-MAP Algorithm

MAP Algorithm สามารถใช้คำนวณความน่าจะเป็นที่เป็นไปได้ของบิตถัดไปแต่ก็ยังมีปัญหาในการนำไปใช้งาน ซึ่งสามารถใช้ log-domain ในการแก้ปัญหาได้โดยอาศัย Jacobian Logarithm ดังสมการที่ 2-30 และ $f_c(|y - x|)$ เป็นพงก์ชันที่แสดงความแตกต่างระหว่างค่าสองค่า ซึ่ง x และ y มีความสัมพันธ์กันจึงสามารถประมาณให้เป็นศูนย์ได้ ดังนั้นจะได้ผลดังสมการที่ 2-31

$$\begin{aligned} \ln(e^x + e^y) &= \max(x, y) + \ln(1 + e^{-|y-x|}) \\ &= \max(x, y) + f_c(|y - x|) \end{aligned} \quad \text{สมการที่ 2-30}$$

$$\ln(e^x + e^y) \approx \max(x, y) \quad \text{สมการที่ 2-31}$$

กำหนดให้ $\bar{\gamma}(s_i \rightarrow s_{i+1})$ แสดงถึงค่า natural logarithm ของ $\gamma(s_i \rightarrow s_{i+1})$ ดังสมการที่ 2-32 และสามารถแสดงดังสมการที่ 2-33

$$\begin{aligned} \bar{\gamma}(s_i \rightarrow s_{i+1}) &= \ln \gamma(s_i \rightarrow s_{i+1}) \\ &= \ln P[m_i] + \ln P[y_i|x_i] \end{aligned} \quad \text{สมการที่ 2-32}$$

$$\begin{aligned} \bar{\gamma}(s_i \rightarrow s_{i+1}) &= \ln P[m_i] - \frac{1}{2} \ln \left(\pi \frac{N_0}{E_s} \right) - \frac{E_s}{N_0} \sum_{q=0}^{n-1} \left[y_i^{(q)} - a_i^{(q)} (2x_i^{(q)} - 1) \right] \\ &= \lambda(s_i \rightarrow s_{i+1}) \end{aligned} \quad \text{สมการที่ 2-33}$$

$\alpha(s_i)$ และ $\beta(s_i)$ แสดงถึงค่า natural logarithm ของ $\alpha(s_i)$ และ $\beta(s_i)$ แสดงดังสมการที่ 2-34 และ 2-35

$$\begin{aligned} \alpha(s_i) &= \ln \alpha(s_i) \\ &= \ln \left\{ \sum_{s_{i-1}} e^{\alpha(s_{i-1}) + \bar{\gamma}(s_{i-1} \rightarrow s_i)} \right\} \\ &= \max_{s_{i-1}} * [\alpha(s_{i-1}) + \bar{\gamma}(s_{i-1} \rightarrow s_i)] \end{aligned} \quad \text{สมการที่ 2-34}$$

$$\begin{aligned}
 \hat{\beta}(s_i) &= \ln \beta(s_i) \\
 &= \ln \left\{ \sum_{s_{i+1}} e^{\hat{\beta}(s_{i+1}) + \hat{\gamma}(s_i \rightarrow s_{i+1})} \right\} \\
 &= \max_{s_{i+1}} * [\alpha(s_{i+1}) + \hat{\gamma}(s_i \rightarrow s_{i+1})]
 \end{aligned}
 \quad \text{สมการที่ 2-35}$$

จาก $\hat{\alpha}(s_i)$ และ $\hat{\beta}(s_i)$ สามารถหาค่า LLR's ได้ดังสมการที่ 2-36

$$\begin{aligned}
 L_i &= \ln \left\{ \sum_{s_1} \hat{\alpha}(s_i) + \hat{\gamma}(s_i \rightarrow (s_{i+1})) + \hat{\beta}(s_{i+1}) \right\} - \ln \left\{ \sum_{s_0} \hat{\alpha}(s_i) + \hat{\gamma}(s_i \rightarrow (s_{i+1})) + \hat{\beta}(s_{i+1}) \right\} \\
 &= \max_{s_1} * [\hat{\alpha}(s_i) + \hat{\gamma}(s_i \rightarrow (s_{i+1})) + \hat{\beta}(s_{i+1})] - \max_{s_0} * [\hat{\alpha}(s_i) + \hat{\gamma}(s_i \rightarrow (s_{i+1})) + \hat{\beta}(s_{i+1})]
 \end{aligned}
 \quad \text{สมการที่ 2-36}$$

สำหรับกระบวนการ max-log-MAP Algorithm และ log-MAP Algorithm

1. Forward Recusion

- กำหนดค่าเริ่มต้นของ $\hat{\alpha}(s_0)$ ดังสมการที่ 2-37

$$\hat{\alpha}(s_0) = \begin{cases} 1 & : s_0 = 0 \\ 0 & : s_0 \neq 0 \end{cases}
 \quad \text{สมการที่ 2-37}$$

- กำหนดให้ $i = 1$
- คำนวณ $\hat{\alpha}(s_i)$ ดังสมการที่ 2-34
- เพิ่มค่า i แล้วคำนวณหาค่า $\hat{\alpha}(s_i)$ ดังสมการที่ 2-34 จนครบ L ค่า

2. Backward Recusion ดังสมการ

- กำหนดค่าสุดท้ายของ $\hat{\beta}(s_L)$ ดังสมการที่ 2-38

$$\hat{\beta}(s_L) = \begin{cases} 1 & : s_L = 0 \\ 0 & : s_L \neq 0 \end{cases}
 \quad \text{สมการที่ 2-38}$$

- ถ้าจาก tellis ไม่สามารถหาค่าสูตรท้ายได้ ให้กำหนด $\beta(s_i)$ ดังสมการที่ 2-39

$$\beta(s_L) = 0 \quad \forall s_L \quad \text{สมการที่ 2-39}$$

- กำหนดให้ $i = L - 1$
- คำนวณ $\beta(s_i)$ ดังสมการที่ 2-35
- ลดค่า i แล้วคำนวณหาค่า $\beta(s_i)$ ดังสมการที่ 2-34 จนครบ L ค่า

3. คำนวณค่า LLR's ดังสมการที่ 2-36 สำหรับค่า $i = (0, \dots, L - 1)$

2.4 Interleaver

2.4.1 Pseudo-Random Interleaver

Pseudo-Random Interleaver เป็นส่วนที่ช่วยในการสลับบิตข้อมูลโดยจำลองการสุ่มลำดับในการสลับบิต คือสุ่มลำดับการสลับบิตเก็บค่าไว้แล้วจึงใช้ค่าเหล่านั้นเป็น Interleaver ซึ่งพัฒนาเป็น S-Random Interleaver ซึ่งจะทำการหาชุดการลำดับบิตที่ดีจาก Pseudo-Random Interleaver แต่ก็ยังมีปัญหาสำหรับเฟรมที่มีขนาดความยาวบิตมาก เพราะทำให้เปลืองหน่วยความจำสำหรับเก็บค่า Interleaver [5]

2.4.2 Deterministically Generate Interleaver

Deterministically Generate Interleaver เป็นส่วนที่ช่วยสร้างลำดับการสลับบิตข้อมูล ซึ่งเป็น Interleaver ที่สร้างขึ้นอย่างคงตัว เพื่อให้ง่ายต่อการนำไปใช้งาน ซึ่งได้แก่ Block Interleaver B_N และพัฒนาเป็น Circular Shifting Interleaver L_N [7]

2.4.2.1 Block Interleaver

Block Interleaver [7] สร้างจากการกำหนดเมตริกขนาด $N = m \times n$ โดย N คือจำนวนความยาวของบิตทั้งหมด, m คือจำนวนแถวของเมตริก และ n คือจำนวนหลักของ

เมตริก สามารถหาสมการฟังก์ชัน เพื่อหาลำดับของ Block Interleaver ดังสมการที่ 2-40 โดย $\lfloor \cdot \rfloor$ แสดงถึงฟังก์ชัน floor คือการปัดเศษลงเป็นจำนวนเต็ม

$$D_N(i) = ni + \lfloor i / m \rfloor \pmod{N}, \quad 0 \leq i < N \quad \text{สมการที่ 2-40}$$

2.4.2.2 Circular Shifting Interleaver

Circular Shifting Interleaver [7], [8] เป็นการกระจายที่เรียกว่า Nonrandom Permutation Based on Circular Shifting สามารถหาสมการฟังก์ชัน เพื่อหาลำดับของ Circular Shifting Interleaver ดังสมการที่ 2-41 โดยมีเงื่อนไข $k = \sqrt{2N} - 1$ [8]

$$| L_N(i) \equiv ki + v \pmod{N}, \quad 0 \leq i < N \quad \text{สมการที่ 2-41}$$

2.4.3 Row-Column Interleaver

เนื่องจากการสลับบิตข้อมูลเพื่อให้ข้อมูลที่อยู่ติดกันห่างกันออกให้มากที่สุดนี้ เป็นการกระทำเพื่อลดผลกระทบเนื่องจากสัญญาณรบกวน ดังนั้นจึงมีแนวคิดในการสร้าง Interleaver โดยการสร้างเมตริกแล้วทำการสลับลำดับทั้งในส่วนที่เป็นแฉลและหลัก แล้วนำเมตริกที่ได้มาเรียงกัน ดังนี้

ขั้นที่ 1 สร้างเมตริกเริ่มต้น

โดยเริ่มจากเมื่อ N คือจำนวนความยาวของบิตทั้งหมด หาก $F = \lfloor \sqrt{N} \rfloor$ จำนวนค่า B จาก $B = \lceil N/F \rceil$ สร้างเมตริก ที่มีขนาด F และ B หลัก โดยที่ $\lceil \cdot \rceil$ แสดงถึงฟังก์ชัน ceil คือการปัดเศษขึ้นเป็นจำนวนเต็ม

ขั้นที่ 2 สร้างการสลับบิตในแนวหลัก

โดยเริ่มจากจำนวนหลักขนาด B หลัก หาก $f_B = \lfloor \sqrt{B} \rfloor$ จำนวนค่า b_B จาก $b_B = \lceil B/f_B \rceil$ สร้างเมตริก Interleaver $(f_B \times b_B)$ เก็บค่าที่ได้เป็น b' แล้วทำการสลับบิตในหลักตามค่า b'

ขั้นที่ 3 สร้างการสลับบิตในแนวแคบ

โดยเริ่มจากจำนวนแควนนาด F และ หาค่า $f_F = \lfloor \sqrt{F} \rfloor$ จำนวนค่า b_F จาก $b_F = \lceil B / f_F \rceil$ สร้างเมตริก Interleaver $(f_F \times b_F)$ เก็บค่าที่ได้เป็น f' แล้วทำการสลับบิตในแนวตามค่า f'

ตัวอย่าง จำนวนความยาวของบิตทั้งหมด 40 บิต

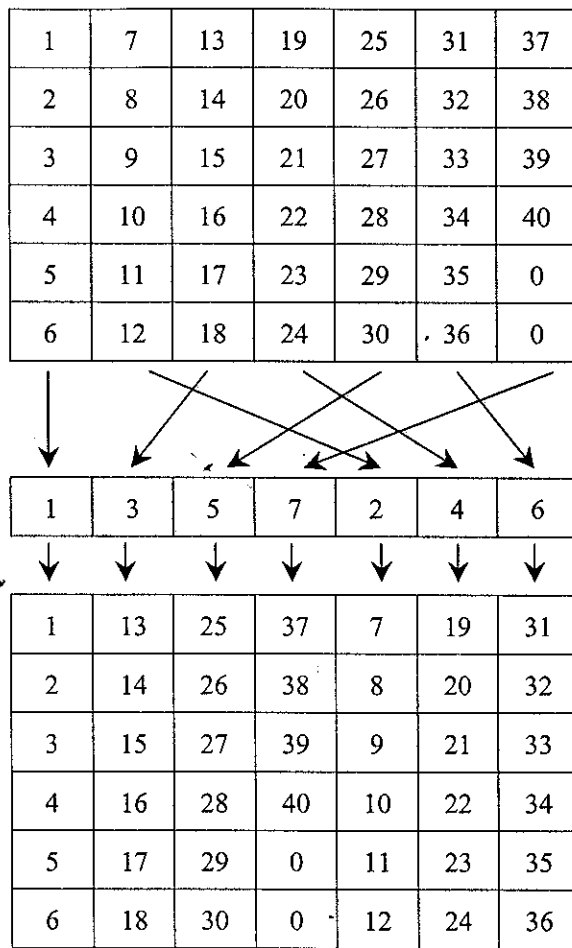
ขั้นที่ 1 สร้างเมตริกเริ่มต้น

เมื่อ $N = 40$ จำนวนค่า $F = \lfloor \sqrt{40} \rfloor = 6$ และ $B = \lceil 40 / 6 \rceil = 7$ สร้างเมตริก ที่มีขนาด 6 แถว 7 หลัก

1	7	13	19	25	31	37
2	8	14	20	26	32	38
3	9	15	21	27	33	39
4	10	16	22	28	34	40
5	11	17	23	29	35	0
6	12	18	24	30	36	0

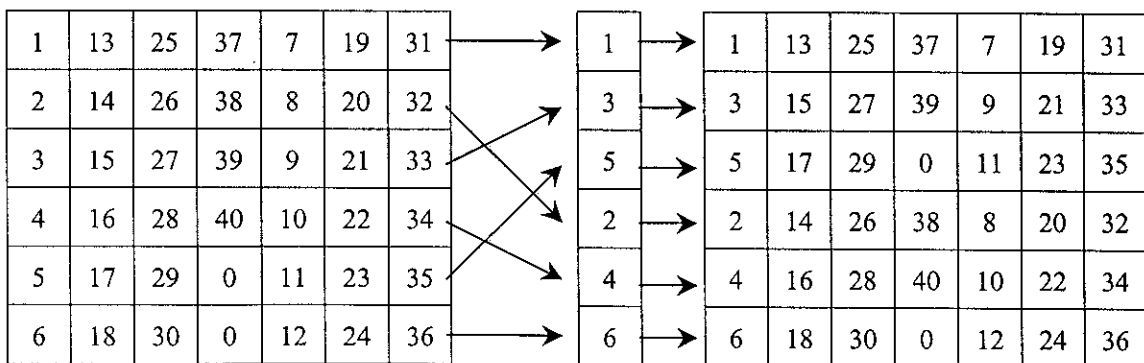
ขั้นที่ 2 สร้างการสลับบิตในแนวหลัก

จำนวนแควนนาด 7 หลัก จำนวนค่า $f_B = \lfloor \sqrt{7} \rfloor = 2$ และ $b_b = \lceil 7 / 2 \rceil = 4$ สร้างเมตริก Interleaver (2×4) เก็บค่าที่ได้เป็น $b' = [1 \ 3 \ 5 \ 7 \ 2 \ 4 \ 6 \ 8]$ แต่เนื่องจากหลักมีขนาด 7 หลักดังนั้น $b' = [1 \ 3 \ 5 \ 7 \ 2 \ 4 \ 6]$ แล้วทำการสลับบิตในหลักตาม b'



ขั้นที่ 3 สร้างการสลับบิตในแนวแก้ว

จำนวนแควร์ขนาด 6×6 และ จำนวนค่า $f_F = \lfloor \sqrt{6} \rfloor = 2$ และ $b_F = \lceil 6 / 2 \rceil = 3$ สร้างเมตริก Interleaver (2×3) เก็บค่าที่ได้เป็น $f' = [1 \ 3 \ 5 \ 2 \ 4 \ 6]$ แล้วทำการสลับบิตในแควรตาม f'



ตั้งนี้จะได้ Interleaver ที่มีการสลับบิตดังนี้ [1 13 25 37 7 19 31 3 15 27 39
9 21 33 5 17 29 11 23 35 2 14 26 38 8 20 32 4 16 28 40
10 22 34 6 18 30 12 24 36]

บทที่ 3

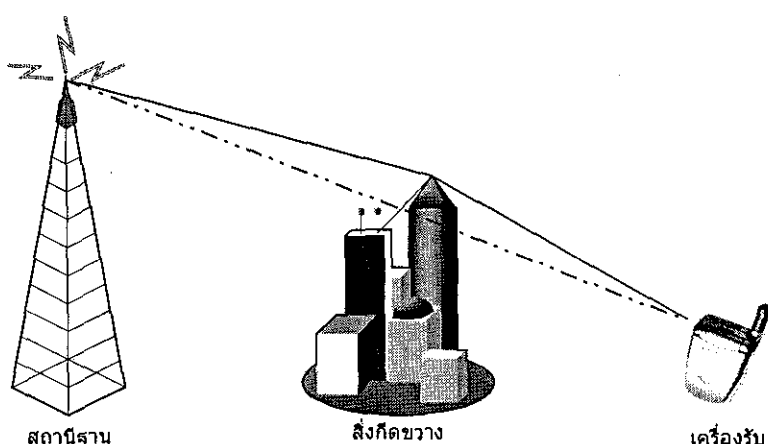
ทฤษฎีของแบบจำลองช่องสัญญาณ

ในโครงการนี้สนใจศึกษาการเข้ารหัสแบบ Turbo Code เพื่อนำไปใช้ในระบบโทรศัพท์เคลื่อนที่ ซึ่งต่างจากการสื่อสารระบบมิสายที่สัญญาณไม่สามารถส่งตรงจากต้นทางถึงปลายทางเสมอได้ไป และยังมีผลกระทบจากสิ่งแวดล้อม ดังนั้น โครงการนี้จึงทำการศึกษาและสร้างแบบจำลองช่องสัญญาณ เพื่อจำลองผลกระทบที่เกิดขึ้นกับสัญญาณให้คล้ายกับสถานการณ์มากที่สุด

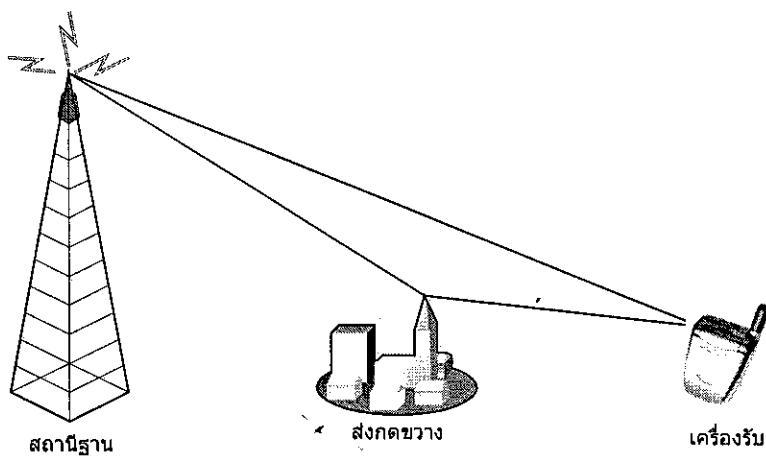
3.1 ทฤษฎีโทรศัพท์เคลื่อนที่เบื้องต้น

3.1.1 เส้นทางการแพร่กระจาย (Propagation path)

การแพร่กระจายสัญญาณของระบบโทรศัพท์เคลื่อนที่ หรือระบบสื่อสารไร้สาย ระหว่างสถานีฐานและเครื่องรับ ประกอบด้วยช่วงที่สัญญาณระหว่างสถานีฐานและเครื่องรับสื่อสัญญาณกัน ได้โดยตรง เรียกว่า Line of Sight ดังภาพที่ 3-1 และช่วงที่สัญญาณระหว่างสถานีฐาน และเครื่องรับสื่อสัญญาณกัน โดยการแพร่กระจาย เรียกว่า Out of Sight ดังภาพที่ 3-2



ภาพที่ 3-1 ภาพแสดงการแพร่กระจายสัญญาณของระบบโทรศัพท์เคลื่อนแบบ Out of Sight



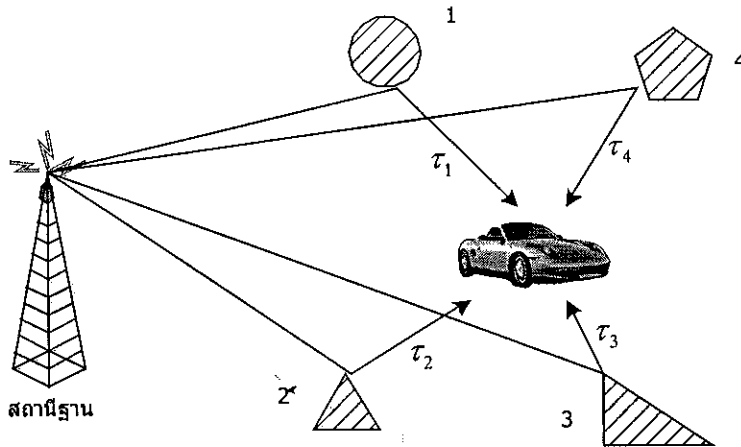
ภาพที่ 3-2 ภาพแสดงการแพร่กระจายสัญญาณของระบบโทรศัพท์เคลื่อน แบบ Line of Sight

3.1.2 Multipath Fading Due to Scattering Factors

Multipath Fading คือสัญญาณที่เป็นข้อมูลชุดเดียวกันที่เครื่องรับสัญญาณรับได้เกิดเนื่องจากในระบบสื่อสารไร้สายเครื่องรับสัญญาณไม่ได้รับเพียงเฉพาะ Line of Sight หรือเพียงแค่สัญญาณเดียวกันจากสถานฐาน เพราะสัญญาณเกิดการสะท้อนกับสิ่งแวดล้อม ประกอบกับเครื่องรับสัญญาณย่อมต้องมีการเคลื่อนที่ Multipath Fading เป็นส่วนที่มีความสำคัญที่จำเป็นต้องคำนึงถึงสำหรับการออกแบบระบบโทรศัพท์เคลื่อนที่ หรือระบบสื่อสารไร้สายอื่นๆ การเกิด Multipath Fading สามารถแบ่งได้เป็น 3 ประเภท [9] ได้แก่

3.1.2.1 สาเหตุจากสิ่งแวดล้อม และเครื่องรับสัญญาณไม่เคลื่อนที่

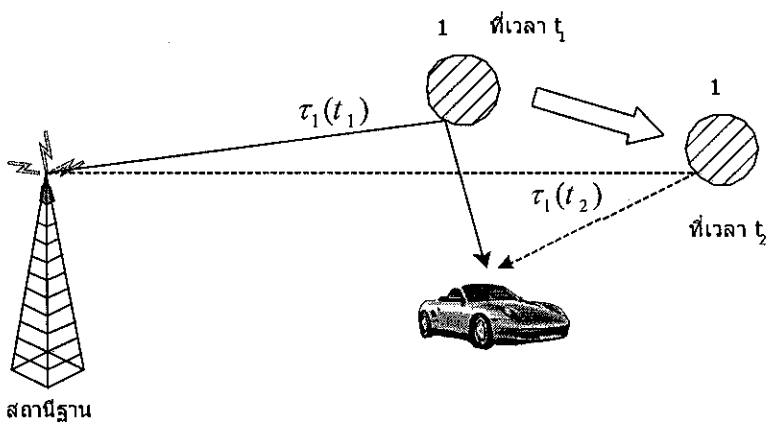
เมื่อทั้งสิ่งแวดล้อม และเครื่องรับสัญญาณไม่เคลื่อนที่ ดังนั้นสัญญาณที่เครื่องรับรับได้จะเป็นเฉพาะสัญญาณที่เกิดจากสิ่งแวดล้อม N จุดเท่านั้น ดังภาพที่ 3-3



* ภาพที่ 3-3 ภาพแสดงการเกิด Multipath Fading
เมื่อสิ่งแวดล้อม และเครื่องรับสัญญาณ ไม่เคลื่อนที่

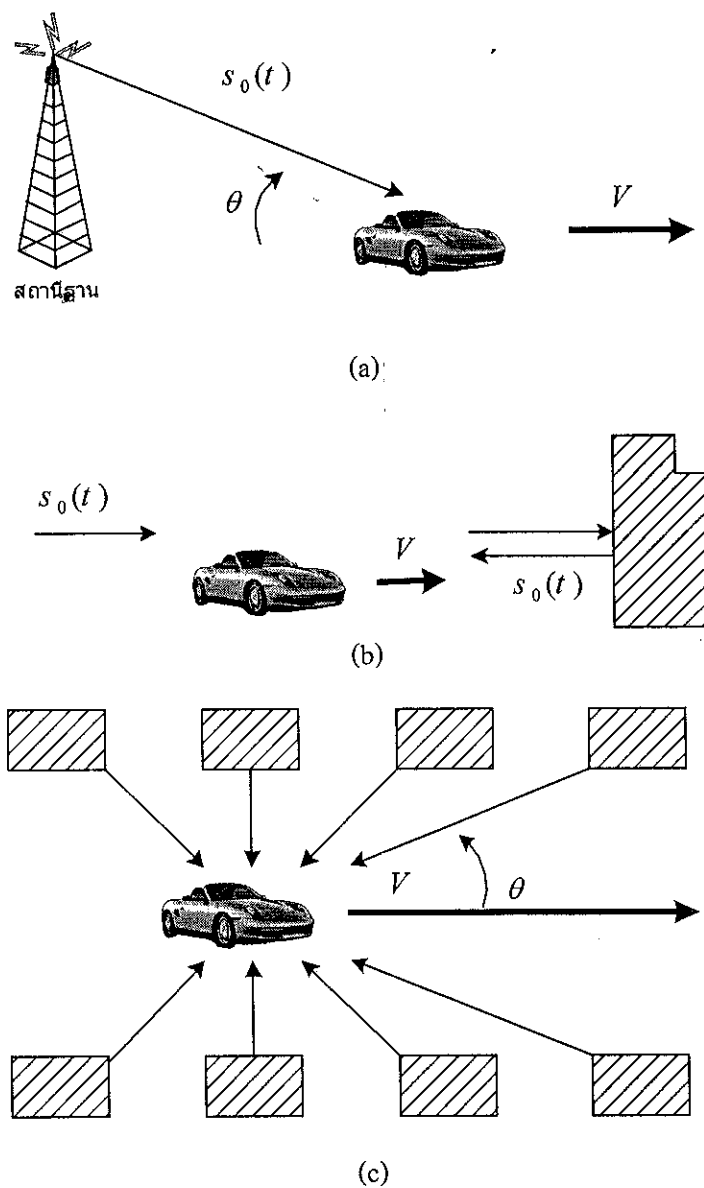
3.1.2.2 สาเหตุจากสิ่งแวดล้อม หรือเครื่องรับสัญญาณเคลื่อนที่

เมื่อเครื่องรับสัญญาณ ไม่เคลื่อนที่ แต่สิ่งแวดล้อมเกิดการเคลื่อนที่ ดังนั้น สัญญาณที่เครื่องรับรับได้จะถูกลดthon เนื่องจากความแตกต่างของช่วงเวลา [9] ดังภาพที่ 3-4



ภาพที่ 3-4 ภาพแสดงการเกิด Multipath Fading
เมื่อเครื่องรับสัญญาณ ไม่เคลื่อนที่ แต่สิ่งแวดล้อมเคลื่อนที่

เมื่อสิ่งแวดล้อมไม่เคลื่อนที่ แต่เครื่องรับสัญญาณเคลื่อนที่ซึ่งสามารถพิจารณาได้เป็น 3 ประเภท คือ พิจารณาเมื่อไม่มีสิ่งแวดล้อมอยู่ พิจารณาเมื่อมีสิ่งแวดล้อมอยู่หน่วยเดียว และ พิจารณาเมื่อมีสิ่งแวดล้อมมากกว่าหน่วย [9] ดังภาพที่ 3-5 (a), (b) และ (c)



ภาพที่ 3-5 ภาพแสดงการเกิด Multipath Fading

เมื่อสิ่งแวดล้อมไม่เคลื่อนที่ แต่เครื่องรับสัญญาณเคลื่อนที่

3.1.2.3 สถานีจากสิ่งแวดล้อม และเครื่องรับสัญญาณเคลื่อนที่

จะพิจารณาหัวทั้งส่วนที่สิ่งแวดล้อมเคลื่อนที่ และส่วนที่เครื่องรับสัญญาณเคลื่อนที่ โดยสัญญาณที่รับได้จะเป็น พลางกสิ่งแวดล้อมเคลื่อนที่, พลางการถูกกดгонเนื่องจากความแตกต่างของช่วงเวลา และ ผลการไม่ได้รับสัญญาณโดยตรง [9]

3.1.3 มาตรฐาน IS-95

IS – 95 เป็นมาตรฐานของโทรศัพท์มือถือ และสถานีฐาน สำหรับ Dual-Mode Wide Band Spread Spectrum มาตรฐานนี้นำมาใช้งานในประเทศอเมริกากับ 800 MHz cellular bands ต่อมาดัดแปลงมาใช้กับ Personal Communications Service (PCS) 1900 MHz มาตรฐานนี้เสนอโดยบริษัท Qualcomm ซึ่งได้รับความร่วมมือจาก AT&T, Motorola และหน่วยงานอื่นที่เกี่ยวข้อง IS-95 เป็น direct-sequence CDMA ที่ผู้ใช้แต่ละคนจะมี Pseudorandom Code ที่ไม่เหมือนกัน ปี 1988, The Cellular Telecommunications Industry Association (CTIA) ก า ห น ด User's Performance Requirements (UPR) สำหรับ Cellular Carrier's ในระบบ Cellular ยุคต่อไป ซึ่ง IS-95 สามารถตอบสนองต่อข้อกำหนดต่างๆ ได้ ซึ่งข้อกำหนดต่างๆ เหล่านี้ได้แก่

- สะควรต่อการเปลี่ยนแปลง และสามารถใช้ได้ในระบบแอนะล็อก (Analog System)
- รวดเร็วสำหรับการใช้งานและเหมาะสมกับราคารadio สำหรับ Dual-Mode Radios และ Cells
- มีความจุของสัญญาณเพิ่มขึ้นมากกว่าความจุ ในระบบแอนะล็อกอย่างมาก
- ความเป็นส่วนตัว
- มีความเพียงพอสามารถรองรับต่อการเติบโตของ Second-Generation Technology
- สามารถปรับปรุงคุณภาพต่างๆ เช่น คุณภาพเสียง, คุณภาพในการบริการในส่วนที่เป็น Dropped Calls, ความคงที่ของระดับคุณภาพเสียง และอื่นๆ
- ง่ายต่อการแสดงความสามารถที่โดยเด่น

ในการใช้งานข้อกำหนดที่สำคัญมากและทำให้ CDMA เป็นที่ยอมรับ เพราะมีความยืดหยุ่นในการใช้งานสูงคือ Dual-Mode Operation ซึ่งสามารถทำได้โดยใช้ CDMA Channel ในช่วงความถี่ของ AMPS เมื่อผู้ใช้เปิดเครื่อง เครื่องสูกเข้าจาก CDMA Control Channel ถ้าเจอก็จะเริ่มสื่อสารโดยใช้ CDMA Protocol ถ้าไม่เจอก็จะหา AMPS Control Channel และสื่อสารโดยใช้ระบบ AMPS แทน [10]

3.2 แบบจำลองช่องสัญญาณ AWGN

AWGN (Additive White Gaussian Noise) เป็นแบบจำลองช่องสัญญาณที่มีความต่อเนื่อง และไม่เป็นพังก์ชันของเวลา (Continuous Time Invariant) มีความสำคัญมาก เพราะใช้เป็นแบบจำลองช่องสัญญาณเพื่อใช้เปรียบเทียบประสิทธิภาพของการเข้ารหัสแบบต่างๆ และเป็นที่ยอมรับอย่างกว้างขวาง

การสร้างแบบจำลอง AWGN จะทำการสุ่มค่าสัญญาณรบกวนเป็น Normally Distributed (Gaussian) ที่มีค่าเฉลี่ยเป็นศูนย์ และมีความแปรปรวน (Variance) $\sigma^2 = \frac{N_0}{2}$ โดยที่ N_0 คือค่าความหนาแน่นพลังงานของสัญญาณรบกวนที่เป็น Single-Sided Band ทำให้ได้ค่าเป็นเวกเตอร์ n เมื่อสัญญาณที่ส่งออกมาเป็นเวกเตอร์ x ดังนั้นสัญญาณที่รับได้ดังสมการที่ 3-1

$$y(t) = x(t) + n(t) \quad \text{สมการที่ 3-1}$$

เนื่องจากสัญญาณที่ส่งออกมาย้อมต้องมีพลังงาน โดยกำหนดให้ E_s เป็นพลังงานเฉลี่ยเทียบกับที่ชุดข้อมูล (Symbol) ดังนั้นค่าเบี่ยงเบนของสัญญาณรบกวนที่เป็น AWGN เป็นดังสมการที่ 3-2

$$\sigma^2 = \frac{N_0}{2E_s} \quad \text{สมการที่ 3-2}$$

3.3 แบบจำลองช่องสัญญาณ Rayleigh Fading

Rayleigh Fading เป็นแบบจำลองช่องสัญญาณแสดงคุณลักษณะของสัญญาณวิทยุแคบ (Narrowband Radio Signals) เมื่อ สัญญาณ ประกอบด้วย สัญญาณ Multiple Propagation Environment และความน่าจะเป็นของการกระจายของสัญญาณจะกำหนดใน Gaussain ที่มีค่าเฉลี่ยเป็นศูนย์ คือมีขนาดเป็นผลคูณของ Rayleigh Distribution [11]

การสร้างแบบจำลองช่องสัญญาณ Rayleigh Fading เริ่มจากการคำนวณหาช่องลักษณะของช่องสัญญาณ Rayleigh Fading สร้างได้ดังสมการที่ 3-4 ซึ่ง $a(t)$ เป็นสัญญาณรบกวนที่เกิดจากช่องสัญญาณ Rayleigh Fading ω_c เป็นความถี่คลื่นพาห์ในชิงมุม $T_c(t)$ และ $T_s(t)$ เป็นค่าขนาดของ Fading โดยสูงตัวแปรจาก Gaussain ที่มีค่าเฉลี่ยเป็นศูนย์ และพลังงานเฉลี่ยเป็น σ^2 และ [4] โดยที่ค่า $r(t)$ และ $\varphi(t)$ มีค่าดังสมการที่ 3-5 และสมการที่ 3-6

$$a(t) = T_c(t) \cos(\omega_c t) + T_s(t) \sin(\omega_c t) \quad \text{สมการที่ 3-3}$$

$$a(t) = r(t) \cos(\omega_c t + \varphi(t)) \quad \text{สมการที่ 3-4}$$

$$r(t) = \sqrt{T_c^2(t) + T_s^2(t)} \quad \text{สมการที่ 3-5}$$

$$\varphi(t) = \tan^{-1} \left(\frac{T_s(t)}{T_c(t)} \right) \quad \text{สมการที่ 3-6}$$

$r(t)$ มีพิธีชั้นการกระจายตัวตามความน่าจะเป็นของ Rayleigh (Rayleigh Probability Density Function) ดังสมการที่ 3-7

$$P(r) = \begin{cases} \frac{r}{\sigma^2} e^{(-\frac{r}{2\sigma^2})} & 0 \leq r \leq \infty \\ 0 & \text{อื่นๆ} \end{cases} \quad \text{สมการที่ 3-7}$$

3.4 แบบจำลองช่องสัญญาณ Ricean Fading

Ricean Fading เป็นแบบจำลองช่องสัญญาณซึ่งแสดงคุณลักษณะของสัญญาณวิทยุ (Radio Signals) ที่ประกอบด้วยสัญญาณ Line of Sight และสัญญาณ Multiple Non-Direct และความน่าจะเป็นของการกระจายของสัญญาณจะกำหนดใน Gaussain ที่มีค่าเฉลี่ยเป็นศูนย์ โดยมีขนาดเป็นผลคูณของ Rician Distribution [11] ซึ่งสามารถสร้างแบบจำลองช่องสัญญาณ Ricean Fading

การสร้างแบบจำลองช่องสัญญาณ Ricean Fading คล้ายกับลักษณะของช่องสัญญาณ Rayleigh Fading เพียงเพิ่มส่วนที่ประกอบด้วยสัญญาณ Line of Sight ดังสมการที่ 3-8 ซึ่ง α เป็นขนาดของ Specular (Line of Sight) component

$$a'(t) = (\alpha + T_c(t)) \cos(\omega_c t) + T_s(t) \sin(\omega_c t) \quad \text{สมการที่ 3-8}$$

3.5 การสร้างแบบจำลองช่องสัญญาณ Rayleigh Fading และ Ricean Fading

- กำหนดค่าตัวแปรความเร็วโทรศัพท์เคลื่อน (v) ความถี่คลื่นพาห์ (f_c) และจำนวนความถี่หลัก (N , Frequency Domain Point) คำนวนหาค่า Doppler frequency (f_d) ดังสมการที่ 3-9

$$f_d = \frac{v \cdot f_c}{C} \quad \text{สมการที่ 3-9}$$

- คำนวนหาค่า ช่วงห่างความถี่ Δf ได้ดังสมการที่ 3-10 เพื่อสร้างเส้นความถี่ (Spectral Line) จำนวน $N - 1$ จุด

$$\Delta f = \frac{2f_d}{N - 1} \quad \text{สมการที่ 3-10}$$

- สุ่มตัวแปรจำนวนเชิงซ้อนที่มีการกระจายตัวเป็น Gaussian จำนวน $N/2$ จุด เป็นแหล่งสัญญาณรบกวนด้านบวก (Positive Frequency Components of the Noise Source) แล้วทำการสังยุคแหล่งสัญญาณรบกวนด้านบวก เป็นแหล่งสัญญาณรบกวนด้านลบ (Negative Frequency Components of the Noise Source)

4. ทำการสุ่มเมื่อนขั้นตอนที่ 3 อีกครั้ง
5. นำแหล่งสัญญาณรบกวนจากขั้นตอนที่ 3 คูณกับ Fading Spectrum $\sqrt{S(f)}$ เป็น In-phase Noise Source และนำแหล่งสัญญาณรบกวนจากขั้นตอนที่ 4 คูณกับ Fading Spectrum เป็น Quadrature Noise Source ซึ่งค่า Fading Spectrum $\sqrt{S(f)}$ หาได้จากการที่ 3-11

$$S(f) = \frac{g}{\pi \cdot f_d \sqrt{1 - \left(\frac{f - f_c}{f_d}\right)^2}} \quad \text{สมการที่ 3-11}$$

$$R(t) = J_0(2\pi f_d t) \quad \text{สมการที่ 3-12}$$

6. ทำการ Inverse Fast Fourier Transfrom ค่า In-phase Noise Source และ Quadrature Noise Source ได้ค่า T_c และ T_s
7. คำนวณสัญญาณที่รับได้เนื่องจาก Fading

A. Rayleigh Fading

สัญญาณที่รับได้จะเป็น $r(t)$ ดังสมการที่ 3-13 โดย $a(t)$ คำนวณจากสมการที่ 3-14 และ $n(t)$ เป็น สัญญาณรบกวนที่เป็น AWGN

$$r(t) = a(t) \cdot x(t) + n(t) \quad \text{สมการที่ 3-13}$$

$$a(t) = |T_c + jT_s| \quad \text{สมการที่ 3-14}$$

B. Ricean Fading

สัญญาณที่รับได้จะเป็น $r'(t)$ ดังสมการที่ 3-15 โดย $a'(t)$ คำนวณจากสมการที่ 3-16 และ $n(t)$ เป็น สัญญาณรบกวนที่เป็น AWGN

$$r'(t) = a'(t) \cdot x(t) + n(t) \quad \text{สมการที่ 3-15}$$

$$a'(t) = |\alpha + T_c + jT_s| \quad \text{สมการที่ 3-16}$$

บทที่ 4

การทำงานของโปรแกรม

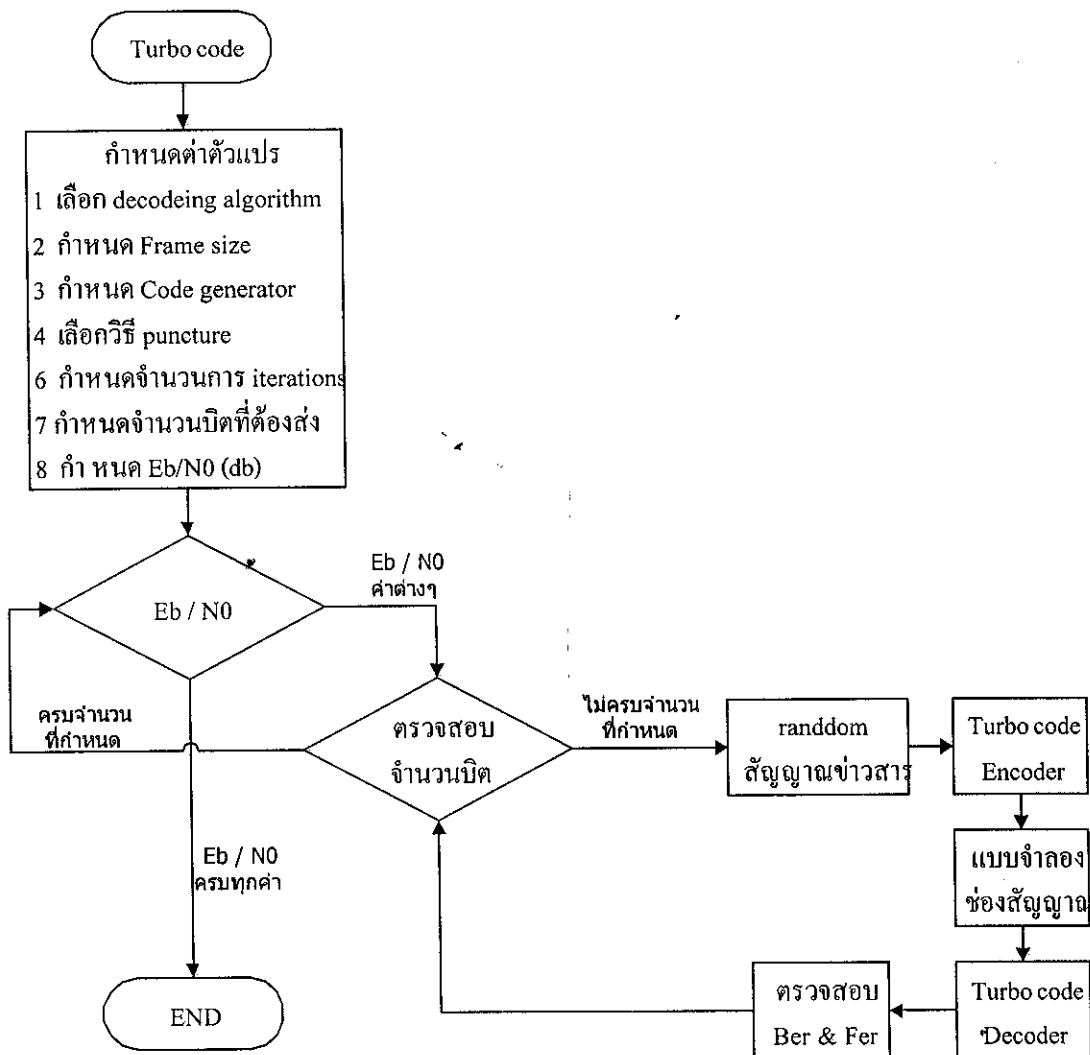
การ สร้าง และใช้งานเครื่องมือสร้างแบบจำลอง Turbo code

4.1 การทำงานของโปรแกรม Turbo code

เนื่องจากโปรแกรมที่ใช้ทดสอบ Turbo code ซึ่งเป็นโปรแกรมชนิด M-file Function ของ Matlab มีความซับซ้อนมากจึงแสดงลำดับการทำงานในเบื้องต้น เพื่อให้สะดวกต่อการศึกษาการทำงานของโปรแกรม โดยแยกอธิบายเป็นส่วน ไม่ได้อธิบายถึงการทำงานของแต่ละ M-file Function

4.1.1 การทำงานโดยรวมของโปรแกรม

โปรแกรมจะเริ่มทำการเก็บค่าตัวแปรต่างๆ ที่เกี่ยวกับข้อมูลการเข้ารหัส การเลือกกำหนด Interleaver และแบบจำลองของสัญญาณ แล้วเริ่มทำงานด้วยค่า E_b / N_0 (dB) ที่ระบุ (ภาย ในโปรแกรมเก็บค่าเป็นตัวแปรเมตริก) โดยจากตรวจสอบว่าจำนวนบิตครบจำนวนที่ต้องการส่ง หรือไม่ แล้วจึงสุ่มนิยตของข่าวสารเป็นบิต 1 และ 0 โดยมีขนาดน้อยกว่าความยาวเฟรม (ซึ่งขึ้นอยู่กับความยาวของ Code Generator) นำไปเข้ารหัสด้วย Turbo Code Encoder ได้เป็นสัญญาณที่มีขนาด 1 และ -1 (เนื่องจากการส่งสัญญาณริงคิดเป็น BPSK) จากนั้นนำสัญญาณที่เข้ารหัสผ่านแบบจำลอง ของสัญญาณต่างๆซึ่งขึ้นอยู่กับโปรแกรมว่าใช้ของสัญญาณแบบใด นำสัญญาณที่ผ่านของสัญญาณมาดอครหัสด้วย Turbo Code Decoder ได้ผลเป็นบิตข่าวสารที่รับได้เป็นบิต 1 และ 0 ทำการเปรียบเทียบระหว่างบิตที่ส่งออกมา และบิตที่รับได้เก็บเป็นค่าตัวแปร BER และ FER แล้วจึงเริ่มตรวจสอบว่าจำนวนบิตครบจำนวนที่ต้องการส่งอีกครั้ง เมื่อจำนวนบิตครบจำนวนที่ต้องการส่งแล้ว จึงเริ่มการทำงานที่ E_b / N_0 (dB) ค่าใหม่จนครบทุกค่า ดังภาพที่ 4-1

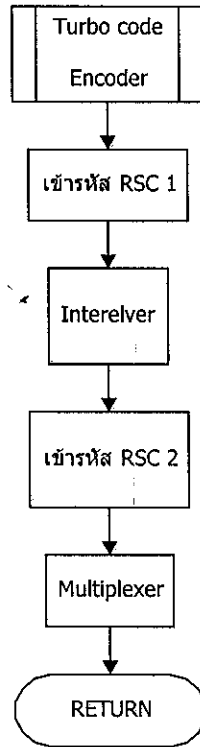


ภาพที่ 4-1 ภาพแสดงการทำงานของโปรแกรมโคชรวม

4.1.2 การทำงาน Turbo Code Encoder

โปรแกรมส่วนที่เป็นการเข้ารหัสจะทำการเข้ารหัส โดยใช้ Code Generator ที่กำหนดไว้แล้วทำการเพิ่มบิตเพื่อให้ สถานะของการเข้ารหัสสุดท้ายเหมือนกับสถานะเริ่มต้น ซึ่งจะได้ความยาวเป็นจำนวนท่ากับความยาวเฟรม โดยจะได้ผลลัพธ์เป็นข้อมูลที่เพิ่มจำนวนบิต กับข้อมูลจากการเข้ารหัสแบบ RSC ซึ่งเป็น Parity Check Bit ชุดแรก จากนั้นนำข้อมูลที่เพิ่มจำนวนบิตผ่าน การสลับบิตจาก Interleaver ที่กำหนดไว้ และนำไปเข้ารหัสแบบ RSC อีกรัง ได้ผลลัพธ์เป็น Parity

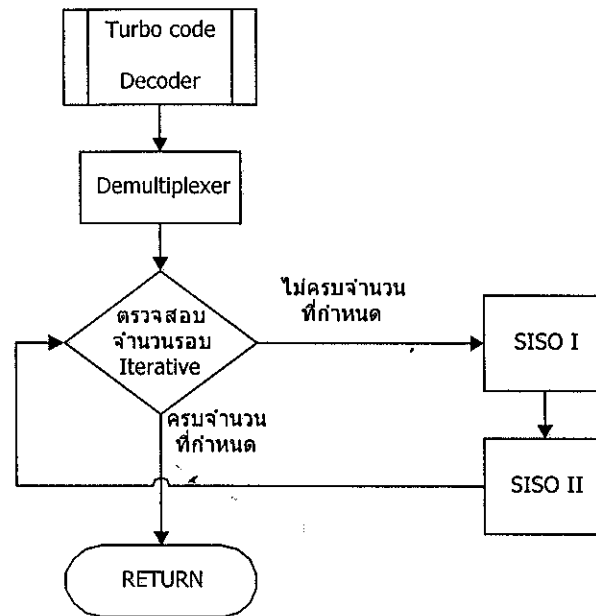
Check Bit ชุดที่สอง แล้วทำการรวมข้อมูลทั้งสามชุดเป็นข้อมูลอนุกรมชุดเดียวกันด้วย Multiplexing โดยมี Puncturing เป็นตัวกำหนดจำนวน Parity Check Bit ที่จะส่งออก ดังภาพที่ 4-2



ภาพที่ 4-2 ภาพแสดงการทำงานของโปรแกรม Turbo Code Encoder

4.1.3 การทำงาน Turbo Code Decoder

โปรแกรมส่วนที่เป็นการเข้ารหัสจะทำการนำข้อมูลที่รับมาได้แยกเป็น ข้อมูลข่าวสาร และ Parity Check Bit 2 ชุด ด้วย Demultiplexer นำข้อมูลที่เป็น ข้อมูลข่าวสาร Parity Check Bit ชุดแรก และ ผลของการถอดรหัสจาก SISO II Decoder (การ Iterative ครั้งแรกยังไม่ได้ค่าดังกล่าว จึง กำหนดเป็นค่าศูนย์) ผ่าน SISO I Decoder ได้ผลลัพธ์ที่ได้ ข้อมูลข่าวสารที่ผ่านการสลับบิต และ Parity Check Bit ชุดที่สอง ผ่าน SISO II Decoder จากนั้นปฏิบัติเหมือนเดิมในส่วนที่เป็น SISO I Decoder และ SISO II Decoder จนครบจำนวน Iterative จึง ได้ข้อมูลที่ทำการถอดรหัส ดังภาพที่ 4-2

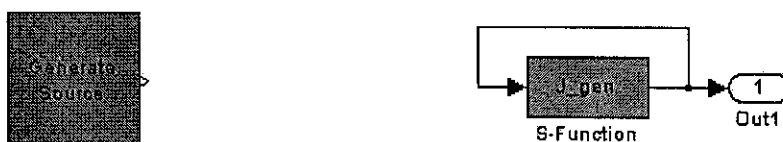


ภาพที่ 4-3 ภาพแสดงการทำงานของโปรแกรม Turbo Code Decoder

4.2 การสร้างเครื่องมือสร้างแบบจำลอง Turbo code

4.2.1 การสร้างเครื่องมือสร้างข้อมูลสำหรับเข้ารหัส

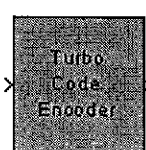
Generated Source เป็นเครื่องมือสำหรับสร้างข้อมูลที่มีบิตเป็น 0 และ 1 เพื่อใช้ทำการเข้ารหัส โดยภายในประกอบด้วย S-Function ที่ทำการเรียกฟังก์ชัน J_gen.m ที่ทำการสุ่มค่าข้อมูลจากฟังก์ชันใน Matlab ดังภาพที่ 4-4



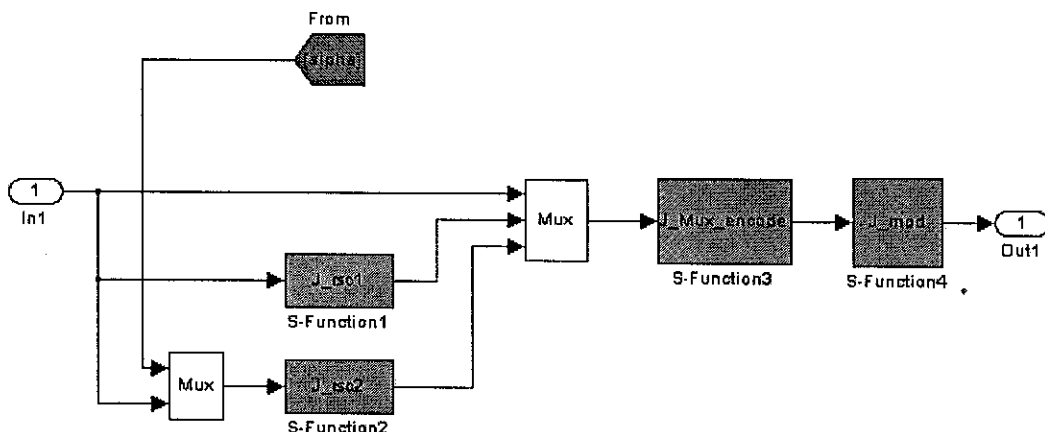
ภาพที่ 4-4 ภาพแสดง Generated Source และส่วนประกอบภายใน

4.2.2 การสร้างเครื่องมือ Turbo Code Encoder

Turbo Code Encoder (ภาพที่ 4-5) เป็นเครื่องมือสำหรับเข้ารหัส Turbo Code โดยภายในประกอบด้วย S-Function ที่ทำการเรียงพังก์ชัน J_res1.m, J_res2.m เพื่อเข้ารหัสข้อมูลแบบ RSC แล้วนำผลลัพธ์การเข้ารหัสที่ได้มารวมกันจากข้อมูลนานกันมาให้เป็นข้อมูลที่อนุกรมกันด้วย Puncturing โดยส่วนที่เป็น J_mux_encode.m แล้วทำการมอดูลเตเป็นสัญญาณขนาด +1 / -1 ด้วย J_mod ดังภาพที่ 4-6



ภาพที่ 4-5 ภาพแสดงเครื่องมือเข้ารหัส Turbo Code



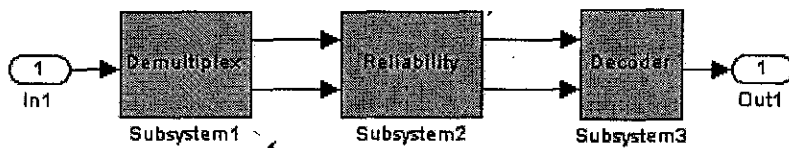
ภาพที่ 4-6 ภาพแสดง Turbo Code

4.2.3 การสร้างเครื่องมือ Turbo Code Decoder

Turbo Code Decoder (ภาพที่ 4-7) เป็นเครื่องมือสำหรับเข้ารหัส Turbo Code โดยเมื่อรับข้อมูลเข้ามาได้แล้วจะผ่านเครื่องมือที่เป็น Demultiplex, Reliability และ Decoder ดังภาพที่ 4-8

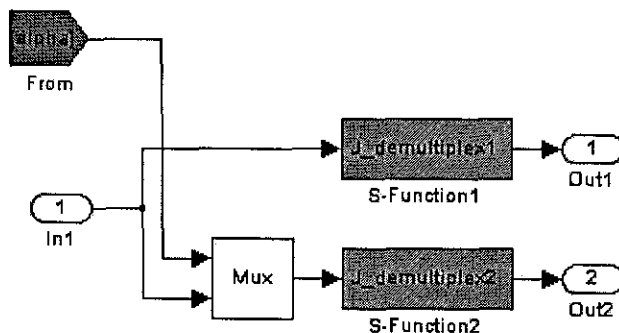


ภาพที่ 4-7 ภาพแสดงเครื่องมือถอดรหัส Turbo Code



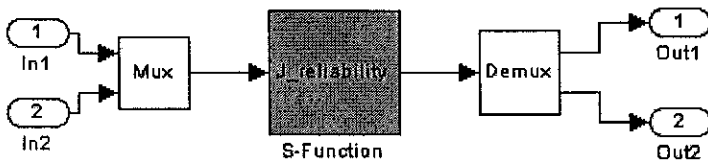
ภาพที่ 4-8 ภาพแสดงส่วนประกอบภายในของเครื่องมือถอดรหัส Turbo Code

Demultiplex จะทำการแยกข้อมูลที่รับได้เป็น 2 ชุด ซึ่งประกอบด้วย ข้อมูลข่าวสารกับ ข้อมูลที่เป็น Parity Check Bit ชุดแรก และข้อมูลข่าวสารที่ผ่านการสัดส比ต่อกับข้อมูลที่เป็น Parity Check Bit ชุดที่สอง โดยอาศัย S-Function ที่ทำการเรียกฟังก์ชัน J_demultiplex1.m และ J_demultiplex2.m ดังภาพที่ 4-9



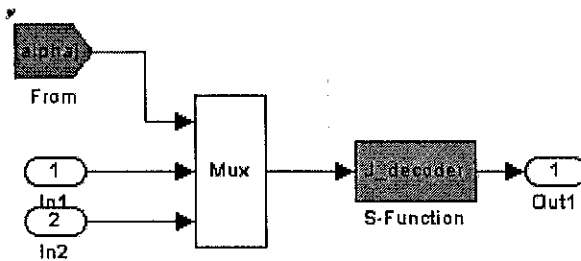
ภาพที่ 4-9 ภาพแสดงส่วนประกอบภายในของ Demultiplex

Reliability เป็นเครื่องมือที่เป็น Channel Reliability ซึ่งคำนวณจาก Eb/No (dB) เพื่อ เป็นค่าระดับในการรับสัญญาณสำหรับ SISO Decoder ในการคำนวณหา Log-Likelihood Ratio โดยจะนำค่าทั้งหมด คูณกับระดับที่คำนวณได้ โดยอาศัย S-Function ที่ทำการเรียกฟังก์ชัน J_reliability.m ดังภาพที่ 4-10



ภาพที่ 4-10 ภาพแสดงส่วนประกอบภายในของ Reliability

Decoder เป็นเครื่องมือที่เป็นส่วนที่รับข้อมูลที่ผ่าน Demultiplex และ Reliability มาทำการถอดรหัสข้อมูลแบบ Turbo Code โดยอาศัย S-Function ที่ทำการเรียกฟังก์ชัน J_decoder.m ดังภาพที่ 4-11



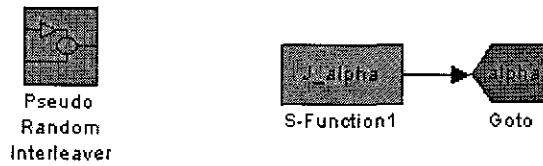
ภาพที่ 4-11 ภาพแสดงส่วนประกอบภายในของ Decoder

4.2.4 การสร้างเครื่องมือสำหรับ Interleaver

เนื่องจากโครงงานทำการศึกษาเกี่ยวกับ Interleaver และได้มีการคิด Interleaver ด้วยวิธีการวางแผนบล็อกแบบทั้งบล็อกทั้งแตรและหลัก จึงจึงต้องสร้างเครื่องมือสำหรับ Interleaver เพื่อใช้ในการเข้ารหัสแบบ Turbo Code

4.3.4.1 Pseudo-Random Interleaver

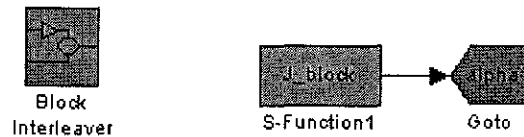
Pseudo-Random Interleaver เป็นเครื่องมือสร้าง Interleaver ที่มีการสุ่มแบบแบบ Pseudo โดยภายในประกอบด้วย S-Function ที่ทำการเรียกฟังก์ชัน J_alpha.m แล้วส่งค่าลำดับการ Interleaver ไปยังตัวแปร alpha ซึ่งสามารถเรียกใช้ได้ (เป็นตัวแปรชนิด global) ดังภาพที่ 4-12



ภาพที่ 4-12 ภาพแสดง Pseudo-Random Interleaver และส่วนประกอบภายใน

4.2.4.2 Block Interleaver

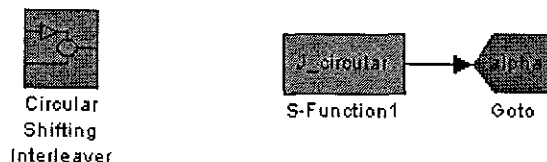
Block Interleaver เป็นเครื่องมือสร้าง Interleaver ที่มีสลับลำดับการเรียงบิตแบบ Block โดยภายในประกอบด้วย S-Function ที่ทำการเรียกฟังก์ชัน J_block.m แล้วส่งค่าลำดับการ Interleaver ไปปั้งตัวแปร alpha ซึ่งสามารถเรียกใช้ได้ ดังภาพที่ 4-13



ภาพที่ 4-13 ภาพแสดง Block Interleaver และส่วนประกอบภายใน

4.2.4.3 Circular Shifting Interleaver

Circular Shifting Interleaver เป็นเครื่องมือสร้าง Interleaver ที่มีสลับลำดับการเรียงบิตแบบ Circular Shifting โดยภายในประกอบด้วย S-Function ที่ทำการเรียกฟังก์ชัน J_circular.m แล้วส่งค่าลำดับการ Interleaver ไปปั้งตัวแปร alpha ซึ่งสามารถเรียกใช้ได้ ดังภาพที่ 4-14



ภาพที่ 4-14 ภาพแสดง Circular Shifting Interleaver และส่วนประกอบภายใน

4.2.4.4 Row-Column Interleaver

Row-Column Interleaver เป็นเครื่องมือสร้าง Interleaver ที่มีสถาบันลำดับการเรียงบิตแบบ โดยภายในประกอบด้วย S-Function ที่ทำการเรียกฟังก์ชัน J_new.m แล้วส่งค่าลำดับการ Interleaver ไปยังตัวแปร alpha ซึ่งสามารถเรียกใช้ได้ ดังภาพที่ 4-15

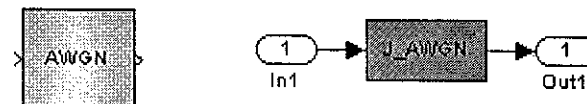


ภาพที่ 4-15 ภาพแสดง และส่วนประกอบภายใน

4.2.5 การสร้างเครื่องมือสำหรับแบบจำลองช่องสัญญาณ

4.2.5.1 AWGN Channel Model

AWGN Channel Model เป็นเครื่องมือสร้างแบบจำลองแบบ AWGN โดยภายในประกอบด้วย S-Function ที่ทำการเรียกฟังก์ชัน J_AWGN.m ซึ่งทำหน้าที่นำสัญญาณที่รับเข้ามาบวกกับสัญญาณรบกวนที่มีการกระจายตัวแบบ Gaussian ที่มีค่าเฉลี่ยเป็นศูนย์ และมีค่าเบี่ยงเบน $\sigma^2 = \frac{N_0}{2E_s}$ ดังภาพที่ 4-16

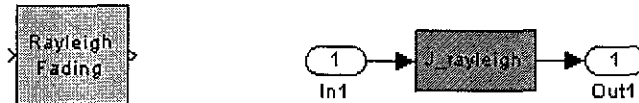


ภาพที่ 4-16 ภาพแสดง AWGN Channel Model และส่วนประกอบภายใน

4.2.5.2 Rayleigh Fading Channel Model

Rayleigh Fading Channel Model เป็นเครื่องมือสร้างแบบจำลองแบบ Rayleigh Fading โดยภายในประกอบด้วย S-Function ที่ทำการเรียกฟังก์ชัน J_Rayleigh.m ซึ่งทำหน้าที่นำ

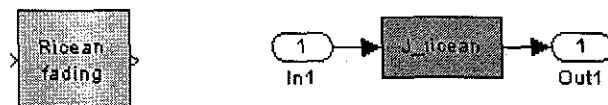
สัญญาณที่รับเข้ามาคูณกับสัญญาณที่เป็น Rayleigh Fading แล้ว梧กับสัญญาณรบกวนที่มีการกระจายตัวแบบ Gaussian ที่มีค่าเฉลี่ยเป็นศูนย์ และมีค่าเบี่ยงเบน $\sigma^2 = \frac{N_0}{2E_s}$ ดังภาพที่ 4-17



ภาพที่ 4-17 ภาพแสดง Rayleigh Fading Channel Model และส่วนประกอบภายใน

4.2.5.3 Ricean Fading Channel Model

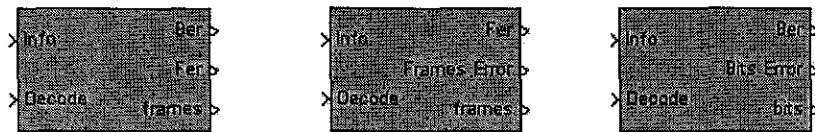
Ricean Fading Channel Model เป็นเครื่องมือสร้างแบบจำลองแบบ Ricean Fading โดยภายในประกอบด้วย S-Function ที่ทำการเรียกฟังก์ชัน J_Ricean.m ซึ่งทำหน้าที่นำสัญญาณที่รับเข้ามาคูณกับสัญญาณที่เป็น Ricean Fading แล้ว梧กับสัญญาณรบกวนที่มีการกระจายตัวแบบ Gaussian ที่มีค่าเฉลี่ยเป็นศูนย์ และมีค่าเบี่ยงเบน $\sigma^2 = \frac{N_0}{2E_s}$ ดังภาพที่ 4-18



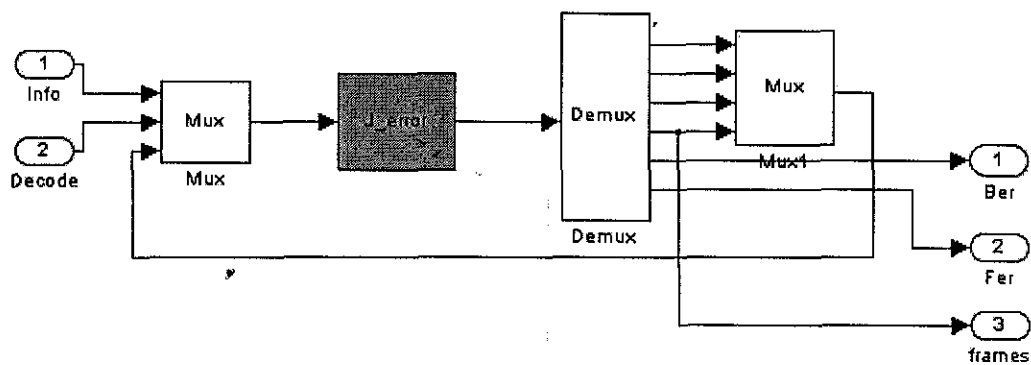
ภาพที่ 4-18 ภาพแสดง Ricean Fading Channel Model และส่วนประกอบภายใน

4.2.6 การสร้างเครื่องมือสำหรับเครื่องวัดความผิดพลาด

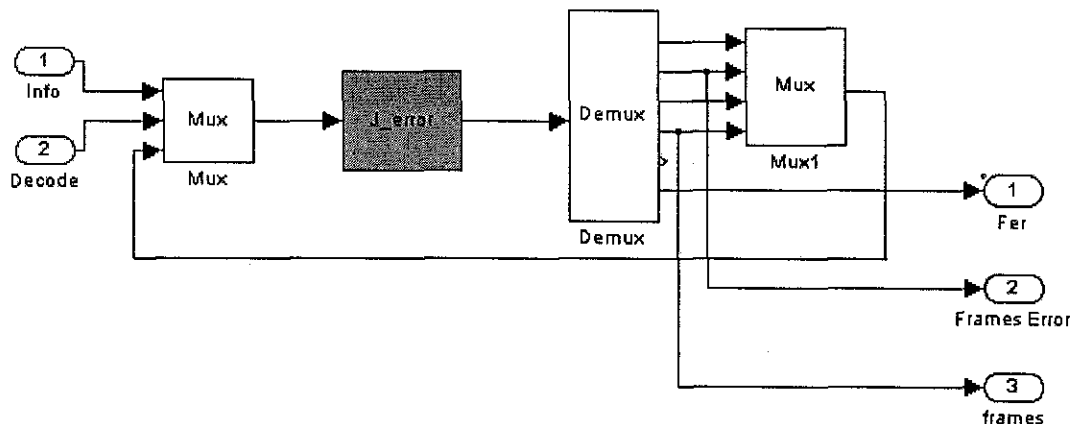
เครื่องวัดความผิดพลาดจะทำการรับข้อมูลก่อนทำการเข้ารหัส และข้อมูลหลังจากเข้ารหัสผ่านแบบจำลองของสัญญาณแล้วต้องรหัสก้อนๆ มาเบริบเทียบกันเพื่อหาค่า BER และ FER โดยภายในประกอบด้วย S-Function ที่ทำการเรียกฟังก์ชัน J_error.m แล้วส่งค่าลำดับการ Interleaver ไปยังตัวแปร alpha ซึ่งสามารถเรียกใช้ได้ ดังภาพที่ 4-19 ซึ่งเครื่องมือแตละชนิดจะทำการเลือกค่าต่างกันออกมานั้น ดังภาพที่ 4-20 ถึง ภาพที่ 4-22



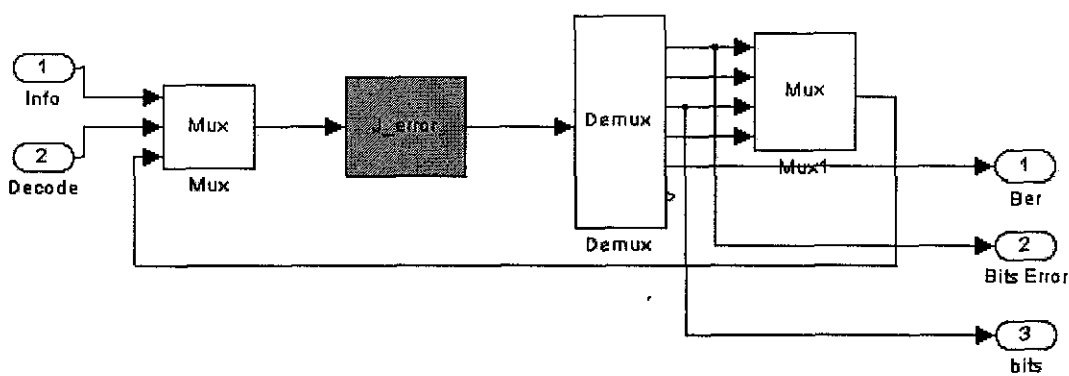
ภาพที่ 4-19 ภาพแสดงเครื่องมือสำหรับเครื่องวัดความผิดพลาด



ภาพที่ 4-20 ภาพแสดงส่วนประกอบภายในของเครื่องมือสำหรับเครื่องวัดความผิดพลาด (1)



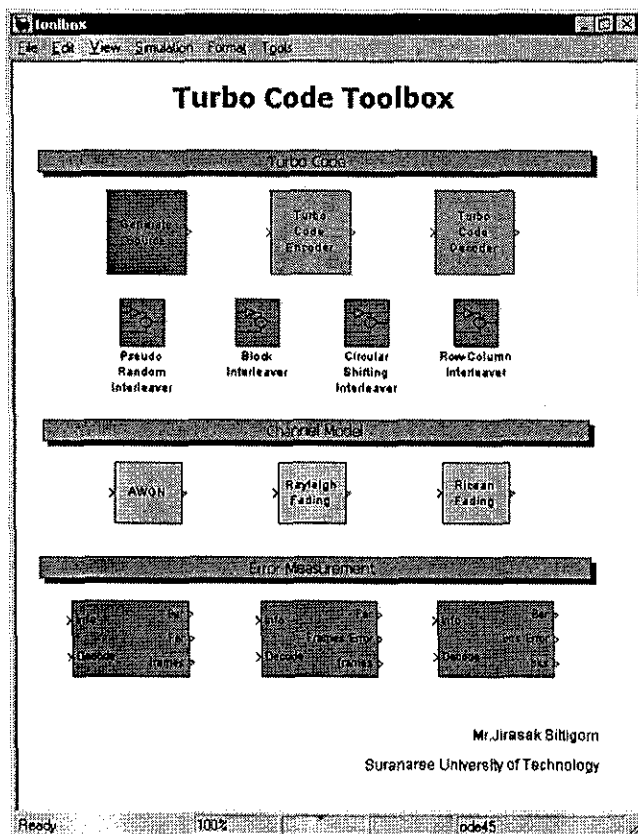
ภาพที่ 4-21 ภาพแสดงส่วนประกอบภายในของเครื่องมือสำหรับเครื่องวัดความผิดพลาด (2)



ภาพที่ 4-22 ภาพแสดงส่วนประกอบภายในของเครื่องมือสำหรับเครื่องวัดความผิดพลาด (3)

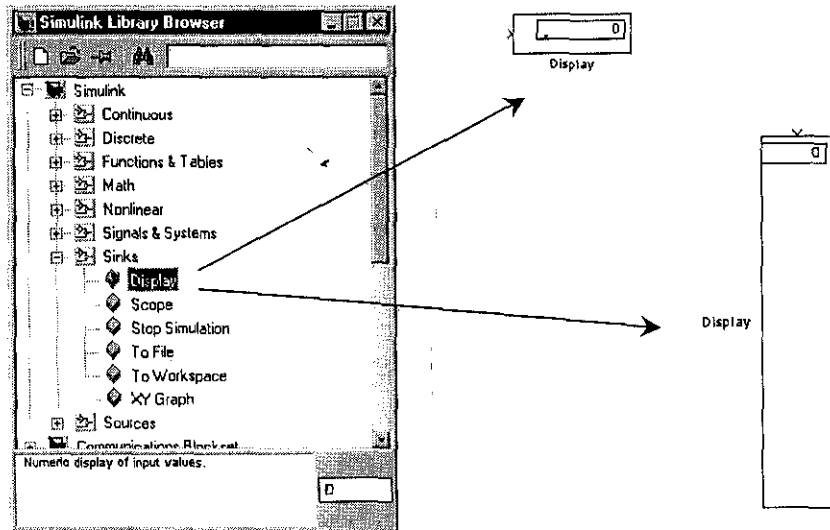
4.4 การใช้งานเครื่องมือสร้างแบบจำลอง Turbo Code

การใช้งานเครื่องมือสร้างแบบจำลอง Turbo Code จำเป็นต้องเลือก เครื่องมือที่ใช้งานให้ครบ ต่อเครื่องมือแต่ละชนิดให้ถูกต้อง และกำหนดค่าต่างๆ ในเครื่องมือให้ถูกต้อง



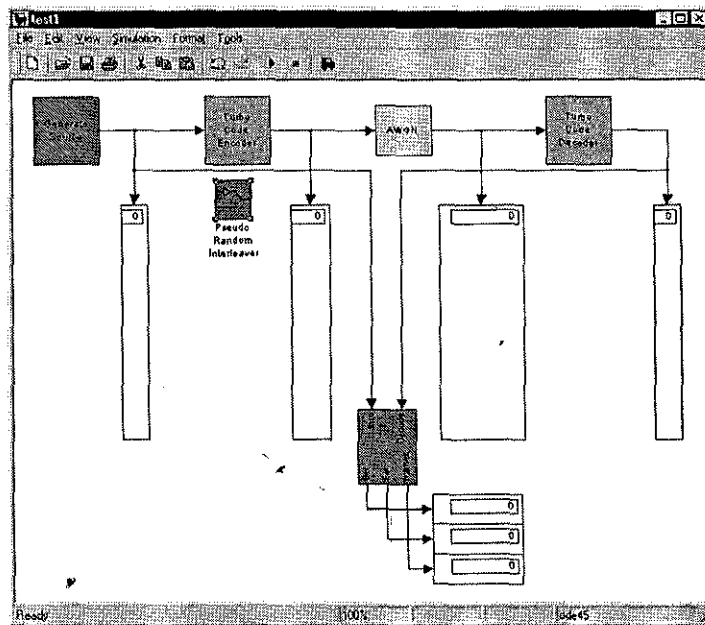
ภาพที่ 4-23 ภาพแสดงส่วนประกอบเครื่องมือสร้างแบบจำลอง Turbo Code

ขั้นตอนที่ 1 การเลือกเครื่องมือสร้างแบบจำลอง Turbo Code จำเป็นต้องมี Generate Source, Turbo Code Encoder, Turbo Code Decoder, Interleaver ชนิดใดชนิดหนึ่ง และแบบจำลองช่องสัญญาณ และควรจะมี Error Measurement และ Display (จาก Simulink Library => Simulink => Sinks => Display หรือ ภาพที่ 4-24) เพื่อแสดงค่าต่างๆ



ภาพที่ 4-23 ภาพแสดงการใช้ Display

ขั้นตอนที่ 2 เริ่มสร้างแบบจำลองใหม่ (โดย File => New => Model หรือ ใช้เบื้อง Ctrl + N) แล้วนำส่วนประกอบต่างๆ ในขั้นที่ 1 มาต่อ กันโดยเชื่อมจุดต่างๆ ให้ครบ ดังตัวอย่างภาพที่ 4-33



ภาพที่ 4-23 ภาพแสดงตัวอย่างเครื่องมือสร้างแบบจำลอง Turbo Code

ขั้นตอนที่ 3 กำหนดค่าของเครื่องมือที่ใช้งานให้ถูกต้องสัมพันธ์กัน

Generate Source

- length of data คือ จำนวนข้อมูลที่ทำการสุ่มเพื่อทำการเข้ารหัส มีจำนวน = ความยาวเฟรม - (K-1) บิต โดยที่ K เท่ากับจำนวนความยาวของ Code Generator ใน Turbo Encoder

Turbo Code Encoder

- ความยาวเฟรม เป็นความยาวข้อมูลข่าวสาร (จำนวนบิตต่อเฟรม ในการส่งข้อมูล)
- Code Generator เป็นการกำหนด RSC Code
- unpunctured เป็นตัวกำหนดจำนวนข้อมูลที่ส่งออก
unpunctured จะให้ข้อมูล rate 1/3 คือมีความยาวเป็น 3 เท่าของ ความยาวเฟรม
punctured (ไม่เลือก unpunctured) จะให้ข้อมูล rate 1/2 คือมีความยาวเป็น 2 เท่าของ

Turbo Code Decoder

- ความยาวเฟรม กำหนดให้เหมือนใน Turbo Code Encoder
- Code Generator เป็นการกำหนด RSC code เพื่อทำการถอดรหัส กำหนดให้เหมือนใน Turbo Code Encoder

- Number of Iterations เป็นการกำหนดจำนวน Iterative
- Fading amplitude กำหนดให้เป็น 1
- Eb/N0 (in dB) สำหรับใช้ใน reliability
- Decoding algorithm เลือก algorithm ในการถอดรหัส
- unpunctured กำหนดให้เหมือนใน Turbo Code Encoder

Pseudo Random Interleaver

- ความยาวเฟรม กำหนดให้เหมือนใน Turbo Code Encoder

Block Interleaver

- ความยาวเฟรม กำหนดให้เหมือนใน Turbo Code Encoder
- m และ n เป็นค่าในการกำหนด Block Interleaver โดยมีความสัมพันธ์ จำนวน ความยาว
เฟรม = $m * n$

Circular Shifting Interleaver

- ความยาวเฟรม กำหนดให้เหมือนใน Turbo Code Encoder
- k และ v เป็นค่าในการกำหนด Circular Shifting Interleaver

Row-Column Interleaver

- ความยาวเฟรม กำหนดให้เหมือนใน Turbo Code Encoder

AWGN

- Eb/N0 (in dB) แสดงถึงกำลังในการส่งข้อมูล กำหนดให้เหมือนใน Turbo Code Decoder
- unpunctured กำหนดให้เหมือนใน Turbo Code Encoder

Rayleigh Fading

- mobile speeds (km/hr) กำหนดความเร็วของเครื่องรับสัญญาณ
- carry frequency กำหนดความถี่พาห์
- Eb/N0 (in dB) กำหนดให้เหมือนใน Turbo Code Encoder

- unpunctured กำหนดให้เหมือนใน Turbo Code Encoder

Ricean Fading

- Specular (Line of Sight) component กำหนดส่วนประกอบของสัญญาณ Line of Sight (น้อยกว่าหรือเท่ากับ 1)
- mobile speeds (km/hr) กำหนดความเร็วของเครื่องรับสัญญาณ
- carry frequency กำหนดความถี่พาก
- Eb/N0 (in dB) กำหนดให้เหมือนใน Turbo Code Encoder
- unpunctured กำหนดให้เหมือนใน Turbo Code Encoder

Error Measurement

- Length of Information กำหนดให้เหมือน length of data ใน Generate Source เพื่อใช้คำนวณ BER และ FER

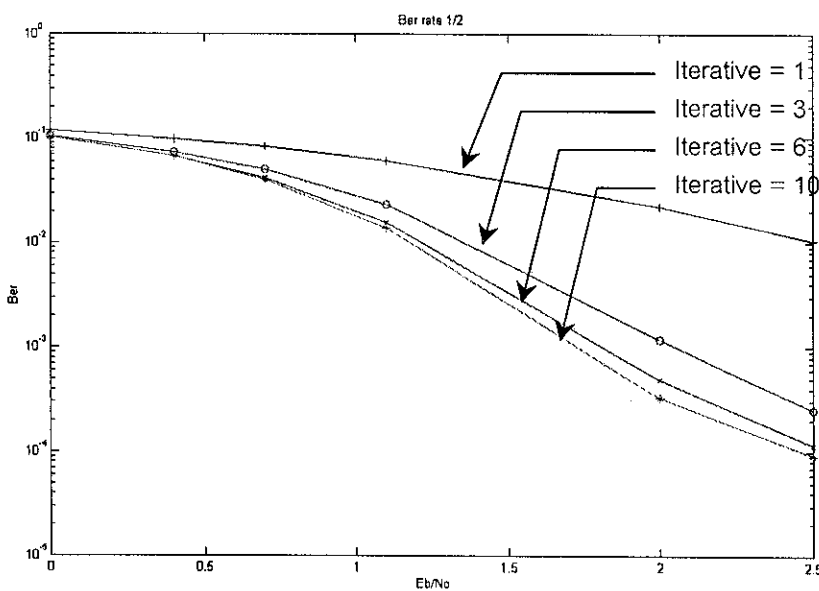
บทที่ 5

วิเคราะห์ผล

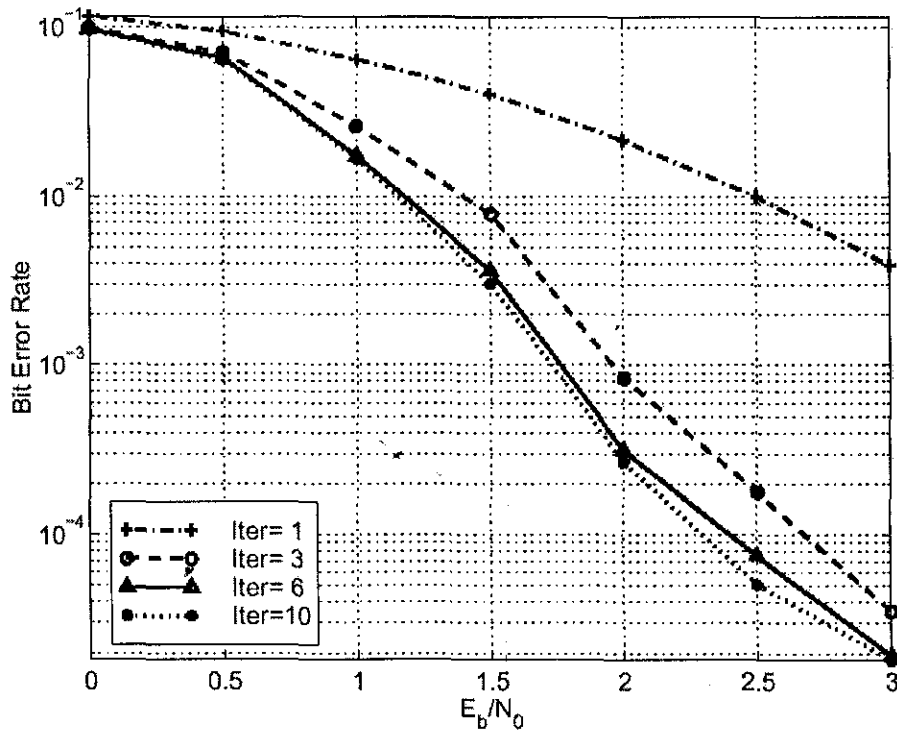
5.1 การเปรียบเทียบผลที่ได้จากโปรแกรม

5.1.1 การเปรียบเทียบผลของโปรแกรม Turbo Code บนแบบจำลองช่องสัญญาณ AWGN

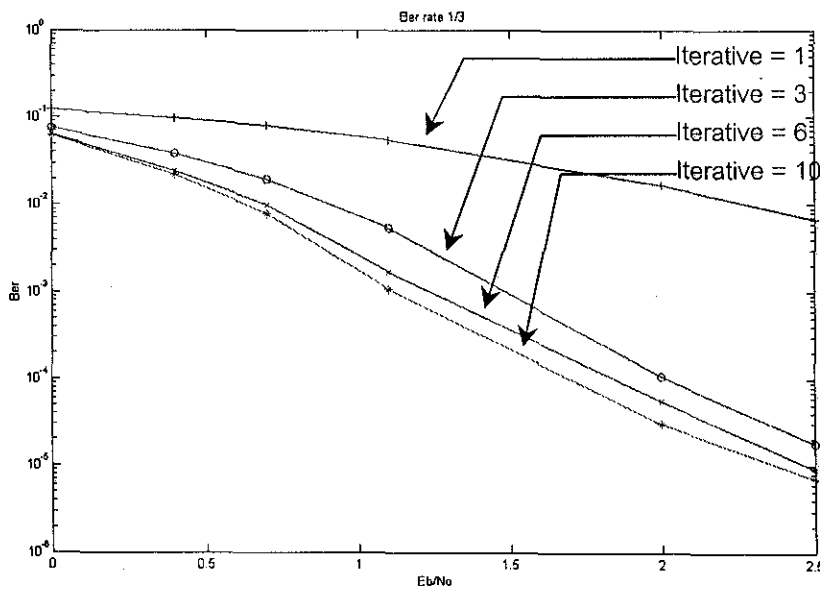
เพื่อเป็นการทดสอบโปรแกรมจึงนำผลจากโปรแกรมมาเปรียบเทียบกับงานวิจัยอื่นๆ สำหรับผลการทดสอบโปรแกรม Turbo Code จะเปรียบเทียบ BER ที่ Iterative 1, 3, 6 และ 10 โดยใช้ $G = (1\ 1\ 1, 1\ 0\ 1)$, ความยาวเฟรม 400 บิต, ที่ rate = 1/2 และ rate = 1/3 บนแบบจำลองช่องสัญญาณ AWGN เปรียบเทียบกับผลการทดสอบของ Yufei Wu [6] ดังภาพที่ 5-1 ถึง ภาพที่ 5-4



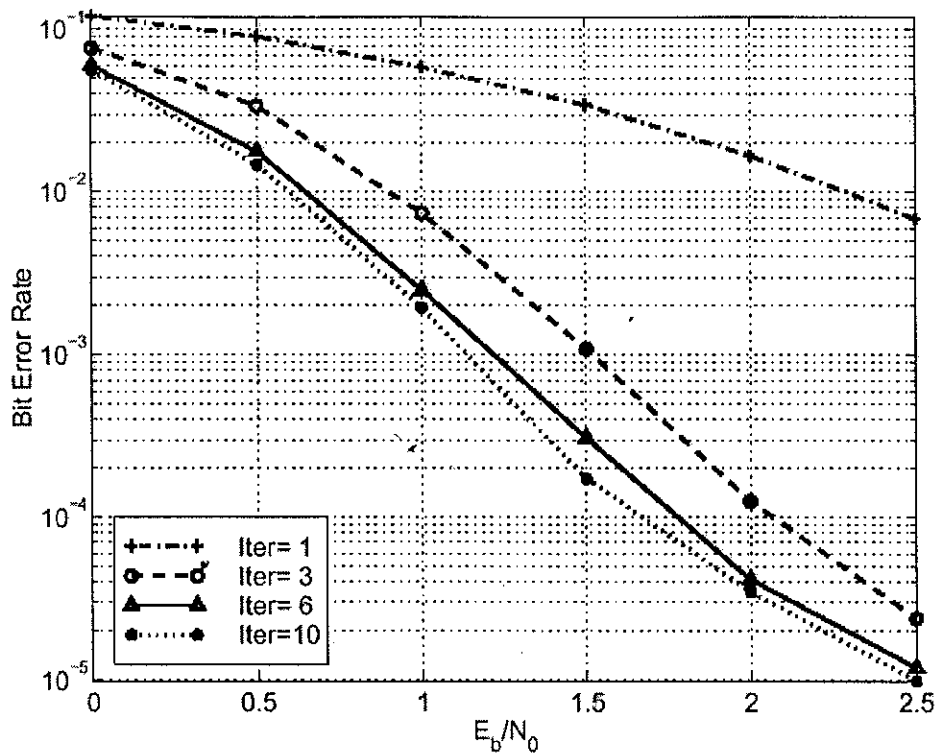
ภาพที่ 5-1 ภาพแสดงผลการทดสอบโปรแกรม Turbo Code เทียบระหว่าง BER กับ Eb/N_0
โดยใช้ความยาวเฟรม 400 บิต, $G = (1\ 1\ 1, 1\ 0\ 1)$, ที่ rate = 1/2



ภาพที่ 5-2 ภาพแสดงผลการทดสอบ Turbo Code ของ Yufei Wu โดยเทียบ
ระหว่าง BER กับ E_b/N_0 โดยใช้ความยาวเฟรม 400 มิติ, $G = (1\ 1\ 1, 1\ 0\ 1)$, ที่ rate = 1/2



ภาพที่ 5-3 ภาพแสดงผลการทดสอบโปรแกรม Turbo Code เทียบระหว่าง BER กับ E_b/N_0
โดยใช้ความยาวเฟรม 400 มิติ, $G = (1\ 1\ 1, 1\ 0\ 1)$, ที่ rate = 1/3

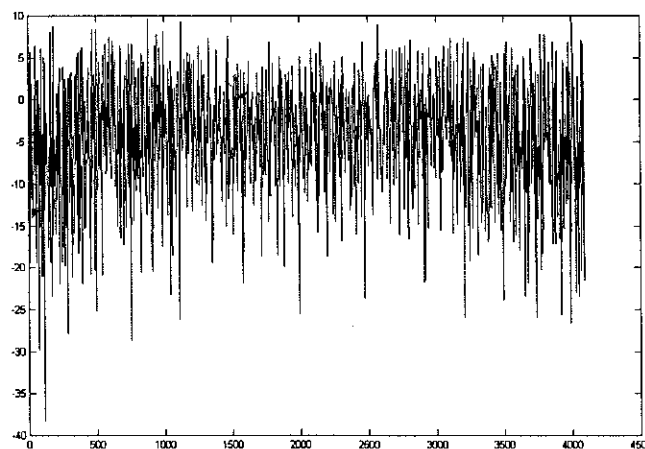


ภาพที่ 5-4 ภาพแสดงผลการทดสอบ Turbo Code ของ Yufei Wu โดยเทียบระหว่าง BER กับ E_b/N_0 โดยใช้ ความยาวเฟรม = 400 บิต, $G = (1\ 1\ 1, 1\ 0\ 1)$, ที่ rate = 1/3

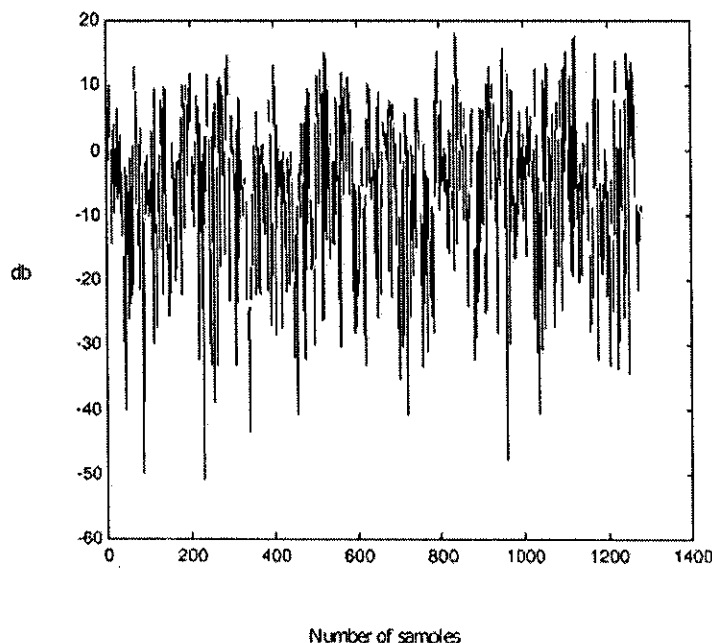
จากผลการทดสอบโปรแกรมในภาพที่ 5-1 ถึง ภาพที่ 5-4 พบว่าผลการเปรียบเทียบ BER ที่ Iterative 1, 3, 6 และ 10 โดยใช้ $G = (1\ 1\ 1, 1\ 0\ 1)$, ความยาวเฟรม = 400 บิต, ที่ rate = 1/2 และ rate = 1/3 บนแบบจำลองช่องสัญญาณ AWGN ที่ได้ใกล้เคียงกัน จึงแสดงว่าโปรแกรมที่ใช้มีความถูกต้อง และสามารถนำไปใช้ในการทดลองอื่นๆ ได้

5.1.2 การเปรียบเทียบผลของโปรแกรมสร้างแบบจำลองช่องสัญญาณ

เพื่อเป็นการทดสอบโปรแกรมสร้างแบบจำลองช่องสัญญาณจึงนำผลจากโปรแกรมมาเปรียบเทียบกับการวิจัยอื่นๆ โดยเปรียบเทียบผลโปรแกรมสร้างแบบจำลองช่องสัญญาณ Rayleigh Fading ที่ความเร็วเครื่องรับ 100 km/hr ความถี่พาร์ 900 MHz กับผลการทดลองของ Moataz Mohamed Salah [8] ดังภาพที่ 5-5 และ ภาพที่ 5-6



ภาพที่ 5-5 ภาพแสดงผลการทดสอบโปรแกรมสร้างแบบจำลองช่องสัญญาณ Rayleigh Fading ที่ความเร็วเครื่องรับ 100 km/hr ความถี่พาร์ 900 MHz



ภาพที่ 5-6 ภาพแสดงผลการทดสอบ Rayleigh Fading ของ Moataz Mohamed Salah

จากผลการทดสอบโปรแกรมสร้างแบบจำลองช่องสัญญาณ Rayleigh Fading ที่ความเร็วเครื่องรับ 100 km/hr ความถี่พาร์ 900 MHz กับผลจาก ดังภาพที่ 5-7 และ ภาพที่ 5-8 พบว่า ผลที่ได้ใกล้เคียงกัน จึงแสดงว่าโปรแกรมสร้างแบบจำลองช่องสัญญาณ Rayleigh Fading ที่ใช้มีความถูกต้อง

5.2 ความสัมพันธ์ระหว่าง Average Weight กับ Bit Distance ของ Interleaver ที่ความยาวเฟรมต่างกัน

เนื่องจาก Interleaver ที่ต่างกันจะส่งผลให้ประสิทธิภาพของการเข้ารหัสลดลงของ Turbo Code ต่างกัน และสำหรับ Deterministically Generate Interleaver ที่มีรูปแบบการสลับบิตอย่างแน่นอน จึงสร้างความสัมพันธ์ระหว่าง Average Weight (\bar{w}) กับ Bit Distance (d_b) ของ Interleaver เพื่อในไปเปรียบเทียบกับผลการเข้ารหัสลดลงของ Turbo Code ที่ใช้ Interleaver ต่างกัน

โดยนิยามว่า Bit Distance คือระยะที่บิตห่างจากกันใน Interleaver และ Average Weight คือ การเฉลี่ยค่าความแตกต่างของลำดับการ Interleaver ที่ Bit Distance ใดๆ ดังสมการที่ 5-1 โดย N คือความยาวเฟรม และ i คือลำดับบิตที่อยู่ใน Interleaver

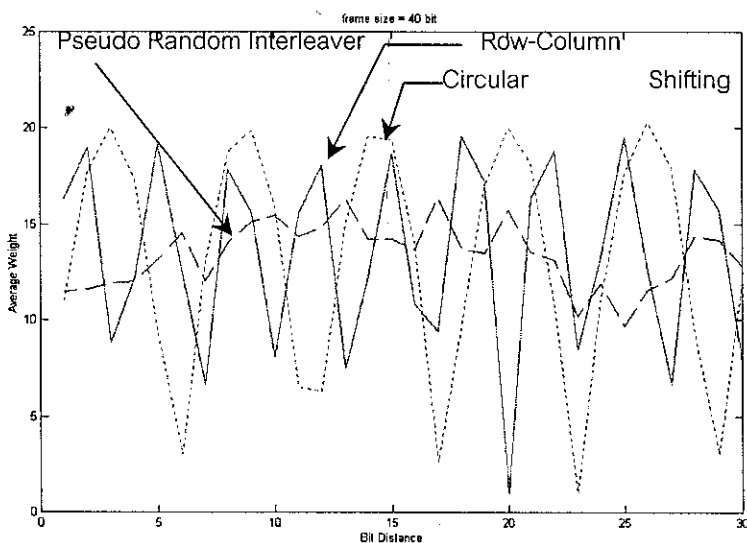
$$\bar{w}(d_b) = \frac{1}{N - d_b} \sum_{i=1}^{N-d_b} dist(i, i + d_b) \quad \text{สมการที่ 5-1}$$

จากนี้นี้ได้นำ Pseudo-Random Interleaver, Circular Shifting Interleaver และ Row-Column Interleaver ที่ความยาวเฟรมต่างกันมาหาความสัมพันธ์ ดังภาพที่ 5-7 ถึงภาพที่ 5-9

ภาพที่ 5-7 แสดงความสัมพันธ์ระหว่าง Average Weight กับ Bit Distance ของ Pseudo Random Interleaver, Circular Shifting Interleaver ($k = 7, a = 0$) และ Row-Column Interleaver ที่ความยาวเฟรม 40 บิต

ภาพที่ 5-8 ภาพแสดงความสัมพันธ์ระหว่าง Average Weight กับ Bit Distance ของ Pseudo Random Interleaver, Circular Shifting Interleaver ($k = 31, a = 0$) และ Row-Column Interleaver ที่ความยาวเฟรม 1024 บิต

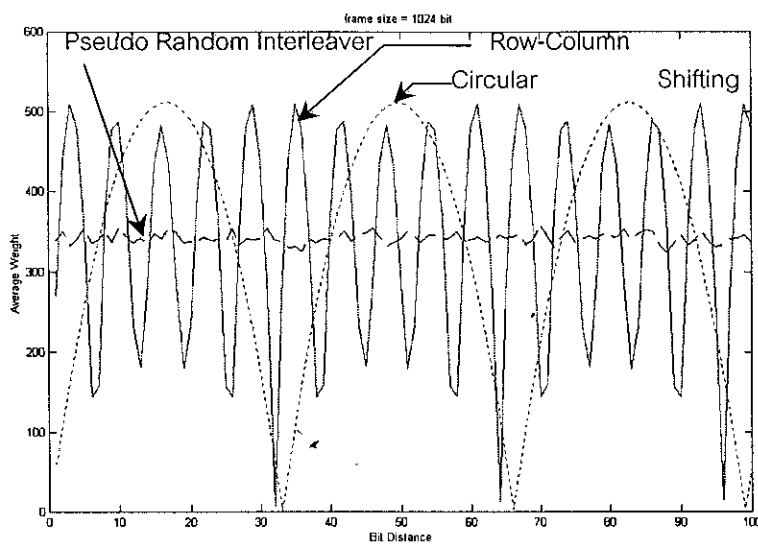
ภาพที่ 5-9 ภาพแสดงความสัมพันธ์ระหว่าง Average Weight กับ Bit Distance ของ Pseudo Random Interleaver, Circular Shifting Interleaver ($k = 127, a = 0$) และ Row-Column Interleaver ที่ความยาวเฟรม 16384 บิต



ภาพที่ 5-7 ภาพแสดงความสัมพันธ์ระหว่าง Average Weight กับ Bit Distance
(ความยาวเฟรม 40 บิต)

จากการที่ 5-7 แสดงให้เห็นว่าที่ ความยาวเฟรม 40 บิต มีข้อสังเกตดังนี้

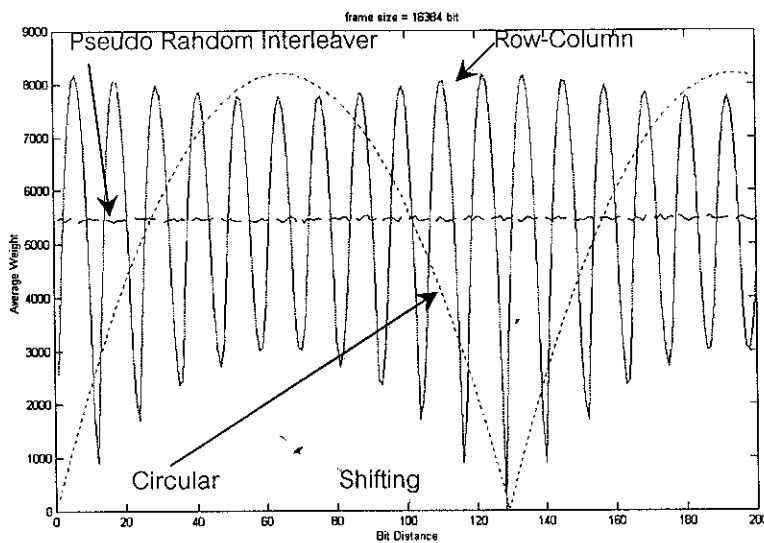
- ที่ Bit Distance มีค่าน้อย (บิตที่อยู่ติดกัน) Pseudo Random Interleaver จะมีค่า Average Weight น้อยที่สุด และ Row-Column Interleaver จะมีค่า Average Weight 高ที่สุด แสดงว่าบิตที่อยู่ติดกันของ Row-Column Interleaver จะมากจากบิตที่อยู่ห่างกันมากที่สุด
- สำหรับ Average Weight โดยรวมของ Interleaver ทุกแบบมีต่างกันมากนัก



ภาพที่ 5-8 ภาพแสดงความสัมพันธ์ระหว่าง Average Weight กับ Bit Distance
(ความยาวเฟรม 1024 บิต)

จากภาพที่ 5-8 แสดงให้เห็นว่าที่ ความยาวเฟรม 1024 บิต มีข้อสังเกตดังนี้

- ที่ Bit Distance มีค่าน้อย (บิตที่อยู่ติดกัน) Circular Shifting Interleaver จะมีค่า Average Weight น้อยที่สุด และ Row-Column Interleaver จะมีค่า Average Weight มากที่สุด แสดงว่าบิตที่อยู่ติดกันของ Row-Column Interleaver จะมากับบิตที่อยู่ห่างกันมากที่สุด
- สำหรับ Average Weight โดยรวม
 - 1 Pseudo-Random Interleaver จะมีค่า Average Weight ใกล้เคียงกันทุก Bit Distance
 - 2 Circular Shifting Interleaver และ Row-Column Interleaver มีค่า Average Weight ที่น้อยที่สุดใกล้เคียงกัน
 - 3 จำนวน Average Weight ที่มากที่สุดของ Row-Column Interleaver จะมากกว่า ของ Circular Shifting Interleaver



ภาพที่ 5-9 ภาพแสดงความสัมพันธ์ระหว่าง Average Weight กับ Bit Distance
(ความยาวเฟรม 16384 บิต)

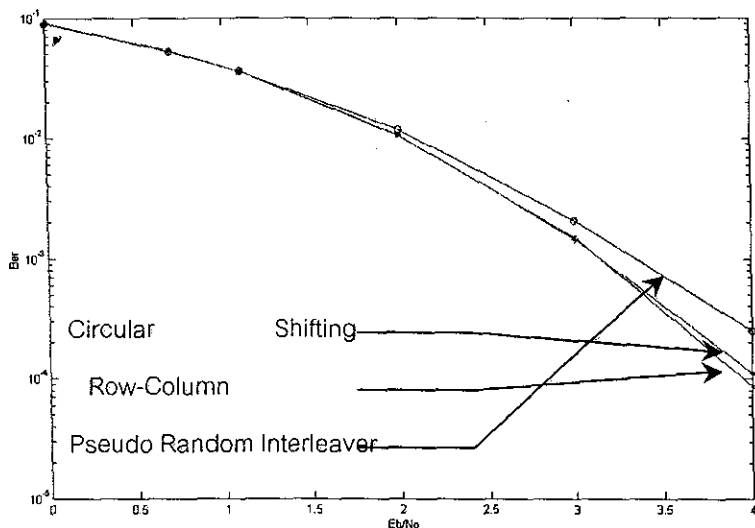
จากภาพที่ 5-9 แสดงให้เห็นว่าที่ ความยาวเฟรม 16384 บิต มีข้อสังเกตดังนี้

- ที่ Bit Distance มีค่าน้อย (บิตที่อยู่ติดกัน) Circular Shifting Interleaver จะมีค่า Average Weight น้อยที่สุด และ Row-Column Interleaver จะมีค่า Average Weight มากที่สุด แสดงว่าบิตที่อยู่ติดกันของ Row-Column Interleaver จะมากจากบิตที่อยู่ห่างกันมากที่สุด
- สำหรับ Average Weight โดยรวม
 - 1 Pseudo-Random Interleaver จะมีค่า Average Weight ใกล้เคียงกันทุก Bit Distance
 - 2 Circular Shifting Interleaver และ Row-Column Interleaver มีค่า Average Weight ที่น้อยที่สุดใกล้เคียงกัน
 - 3 จำนวน Average Weight ที่มากที่สุดของ Row-Column Interleaver มากกว่า ของ Circular Shifting Interleaver

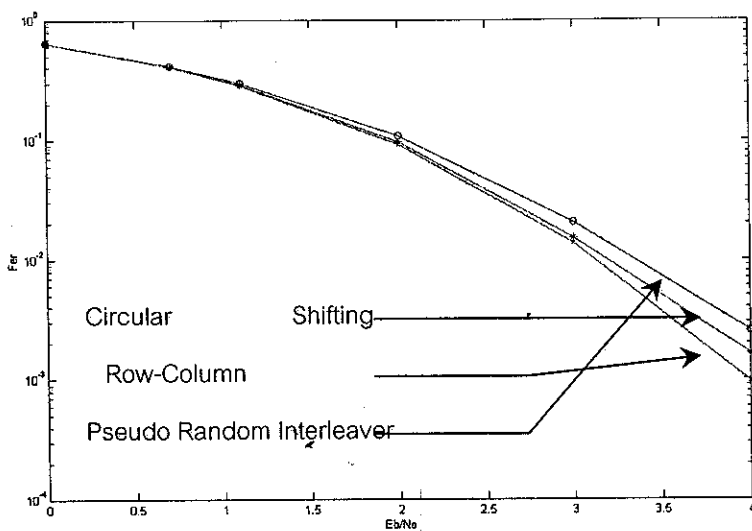
5.3 ผลการทดสอบ Turbo Code เนื่องจากการใช้ Interleaver ที่ต่างกันบนแบบจำลองช่องสัญญาณ AWGN ที่ความยาวเฟรม ต่างกัน

5.3.1 การทดสอบ Turbo Code ที่ ความยาวเฟรม 40 บิต

โดยใช้ Interleaver ที่ต่างกัน ซึ่งได้แก่ Pseudo-Random Interleaver, Circular Shifting Interleaver และ Row-Column Interleaver ที่ ความยาวเฟรม 40 บิต, $G = (1\ 1\ 1, 1\ 0\ 1)$, rate = 1/2 ได้ผลการทดสอบดังภาพที่ 5-10 และ ภาพที่ 5-11



ภาพที่ 5-10 ภาพแสดงผลการทดสอบโปรแกรม Turbo Code เทียบระหว่าง BER กับ Eb/N0 โดยใช้ ความยาวเฟรม 40 บิต, $G = (1\ 1\ 1, 1\ 0\ 1)$, ที่ rate = 1/2

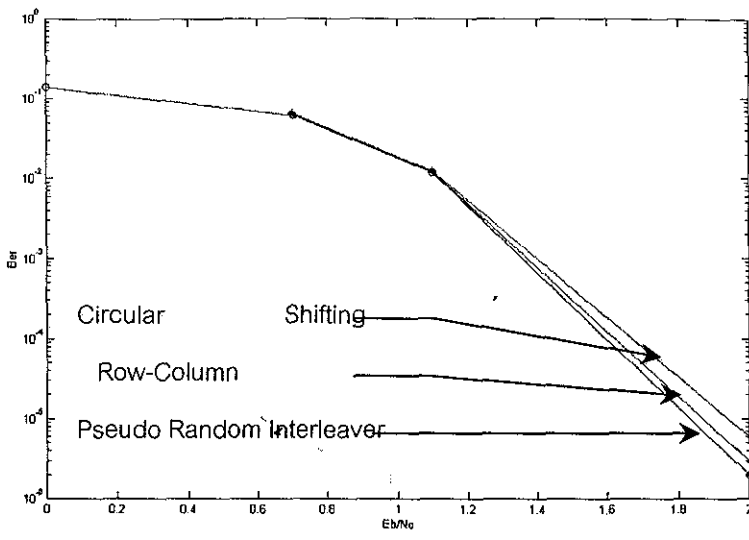


ภาพที่ 5-11 ภาพแสดงผลการทดสอบโปรแกรม Turbo Code เทียบระหว่าง FER กับ Eb/N0 โดยใช้ ความยาวเฟรม 40 บิต, $G = (1\ 1\ 1, 1\ 0\ 1)$, ที่ rate = 1/2

จากผลการทดสอบ Turbo Code ภาพที่ 5-10 และภาพที่ 5-11 แสดงการเปรียบเทียบระหว่าง BER, FER กับ Eb/N0 ที่ความยาวเฟรม 40 บิต ระหว่าง Pseudo-Random Interleaver, Circular Shifting Interleaver และ Row-Column Interleaver พบว่าผลการทดสอบ Turbo Code ที่ใช้ Interleaver ทั้ง 3 แบบ มีค่าไกล์เดียงกัน โดยผลของ Turbo Code ที่ใช้ Row-Column Interleaver และ Circular Shifting Interleaver ให้ผลที่ไกล์เดียงกัน และดีกว่าผลของ Turbo Code ที่ใช้ Pseudo-Random Interleaver เส้นกันน้อย

5.3.2 การทดสอบ Turbo Code ที่ ความยาวเฟรม 1024 บิต

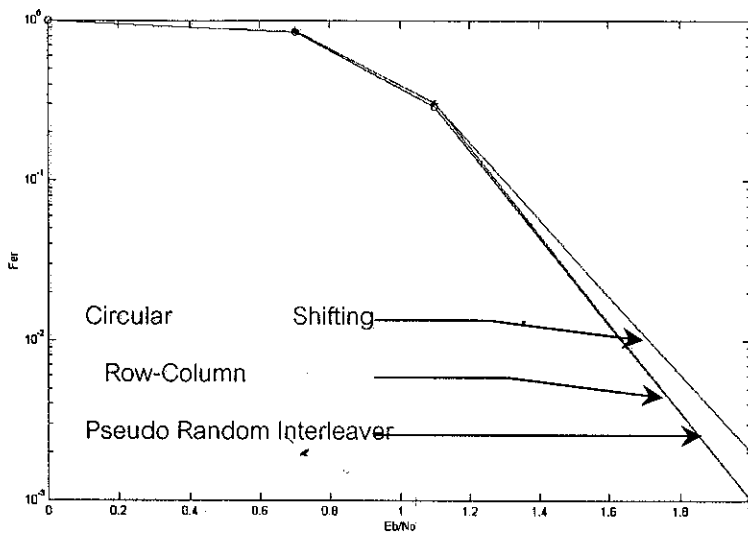
โดยใช้ Interleaver ที่ต่างกัน ซึ่งได้แก่ Pseudo-Random Interleaver, Circular Shifting Interleaver และ Row-Column Interleaver ที่ ความยาวเฟรม 1024 บิต, $G = (1\ 0\ 0\ 1\ 1, 1\ 1\ 1\ 0\ 1)$, rate = 1/2 ได้ผลการทดสอบดังภาพที่ 5-12 และ ภาพที่ 5-13



ภาพที่ 5-12 ภาพแสดงผลการทดสอบโปรแกรม Turbo Code เทียบระหว่าง BER กับ Eb/N_0

โดยใช้ ความยาวเฟรม 1024 บิต, $G = (1\ 0\ 0\ 1\ 1\ ,\ 1\ 1\ 1\ 0\ 1)$, ที่ rate = 1/2

จากผลการทดสอบ Turbo Code ภาพที่ 5-12 แสดงการเปรียบเทียบระหว่าง BER กับ Eb/N_0 ที่ความยาวเฟรม 1024 บิต ระหว่าง Pseudo-Random Interleaver, Circular Shifting Interleaver และ Row-Column Interleaver พบว่าผลการทดสอบของ Turbo Code ที่ใช้ Pseudo-Random Interleaver มีค่า BER น้อยกว่าที่ใช้ Interleaver แบบอื่นเด็กน้อย และผลของ Turbo Code ที่ใช้ Row-Column Interleaver และ Circular Shifting Interleaver ให้ผลที่ใกล้เคียงกัน โดยเมื่อใช้ Row-Column Interleaver จะได้ค่า BER น้อยกว่าเมื่อใช้ Circular Shifting Interleaver เด็กน้อย

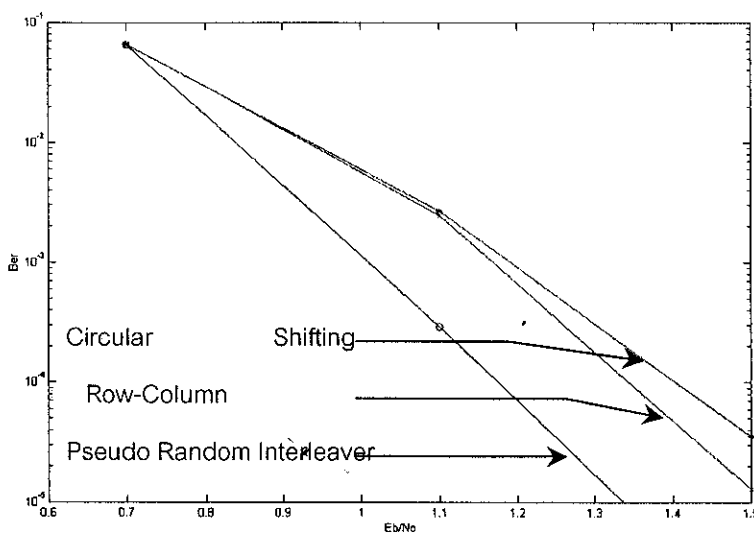


ภาพที่ 5-13 ภาพแสดงผลการทดสอบโปรแกรม Turbo Code เทียบระหว่าง FER กับ Eb/N0 โดยใช้ ความยาวเฟรม 1024 บิต, $G = (1\ 0\ 0\ 1\ 1, 1\ 1\ 1\ 0\ 1)$, ที่ rate = 1/2

จากผลการทดสอบ Turbo Code ภาพที่ 5-13 แสดงการเปรียบเทียบระหว่าง FER กับ Eb/N0 ที่ความยาวเฟรม 1024 บิต ระหว่าง Pseudo-Random Interleaver, Circular Shifting Interleaver และ Row-Column Interleaver พบร่วมกันว่าผลการทดสอบของ Turbo Code ที่ใช้ Pseudo-Random Interleaver ให้ค่า FER ที่ใกล้เคียงกับผลการทดสอบของ Turbo Code ที่ใช้ Row-Column Interleaver และดีกว่าผลการทดสอบ Turbo Code ที่ใช้ Circular Shifting Interleaver เต็มน้อย

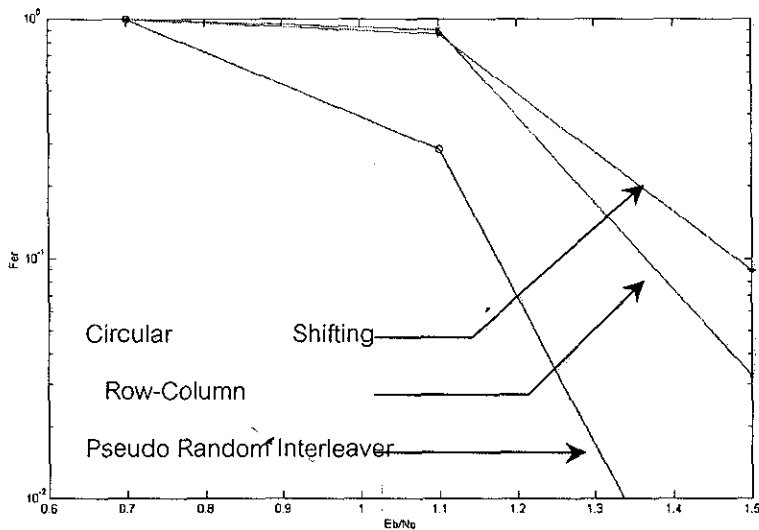
5.3.3 การทดสอบ Turbo Code ที่ ความยาวเฟรม 16384 บิต

โดยใช้ Interleaver ที่ต่างกัน ซึ่งได้แก่ Pseudo-Random Interleaver, Circular Shifting Interleaver และ Row-Column Interleaver ที่ ความยาวเฟรม 16384 บิต, $G = (1\ 0\ 0\ 1\ 1, 1\ 1\ 1\ 0\ 1)$, rate = 1/2 ได้ผลการทดสอบดังภาพที่ 5-14 และ ภาพที่ 5-15



ภาพที่ 5-14 ภาพแสดงผลการทดสอบโปรแกรม Turbo Code เทียบระหว่าง BER กับ Eb/N0 โดยใช้ ความยาวเฟรม 16384 บิต, $G = (1\ 0\ 0\ 1\ 1, 1\ 1\ 1\ 0\ 1)$, ที่ rate = 1/2

จากผลการทดสอบ Turbo Code ภาพที่ 5-14 แสดงการเปรียบเทียบระหว่าง BER กับ Eb/N0 ที่ความยาวเฟรม 16384 บิต ระหว่าง Pseudo-Random Interleaver, Circular Shifting Interleaver และ Row-Column Interleaver พบร่วมกันว่าผลการทดสอบของ Turbo Code ที่ใช้ Pseudo-Random Interleaver มีค่า BER น้อยกว่าที่ใช้ Interleaver แบบอื่นอย่างเห็นได้ชัด และผลของ Turbo Code ที่ใช้ Row-Column Interleaver และ Circular Shifting Interleaver ให้ผลที่ใกล้เคียงกัน โดยเมื่อใช้ Row-Column Interleaver จะได้ค่า BER น้อยกว่าเมื่อใช้ Circular Shifting Interleaver เล็กน้อย



ภาพที่ 5-15 ภาพแสดงผลการทดสอบโปรแกรม Turbo Code เทียบระหว่าง FER กับ Eb/N0 โดยใช้ความยาวเฟรม 16384 บิต, $G = (1\ 0\ 0\ 1\ 1, 1\ 1\ 1\ 0\ 1)$, ที่ rate = 1/2

จากผลการทดสอบ Turbo Code ภาพที่ 5-13 แสดงการเปรียบเทียบระหว่าง FER กับ Eb/N0 ที่ความยาวเฟรม 16384 บิต ระหว่าง Pseudo-Random Interleaver, Circular Shifting Interleaver และ Row-Column Interleaver พบว่าผลการทดสอบของ Turbo Code ที่ใช้ Pseudo-Random Interleaver มีค่า FER น้อยกว่าที่ใช้ Interleaver แบบอื่นอย่างเห็นได้ชัด และผลของ Turbo Code ที่ใช้ Row-Column Interleaver และ Circular Shifting Interleaver ให้ผลที่ใกล้เคียงกัน โดยเมื่อใช้ Row-Column Interleaver จะได้ค่า FER น้อยกว่าเมื่อใช้ Circular Shifting Interleaver เล็กน้อย

5.4 สรุปผลของการทดสอบโปรแกรมที่ความยาวเฟรมต่างกันเปรียบเทียบกับความล้มเหลวที่ระหว่าง Average Weight กับ Bit Distance ของ Interleaver ที่ความยาวเฟรมต่างกัน

5.4.1 สรุปผลของการทดสอบโปรแกรมมีความยาวเฟรมน้อย

เมื่อทดสอบโปรแกรมที่ความยาวเฟรมน้อยพบกว่า BER และ FER ของ Turbo Code ที่ใช้ Row-Column Interleaver และ Circular Shifting Interleaver ค่าไกล์เคียงกัน และมีค่าน้อยกว่า Turbo Code ที่ใช้ Pseudo-Random Interleaver เนื่องจาก Average Weight โดยรวมของ Interleaver ที่ความยาวเฟรมน้อยไม่แตกต่างกันมากนัก และ Row-Column Interleaver มีแนวโน้มของผลที่ดีกว่า Circular Shifting Interleaver เนื่องจากค่า Average Weight มีค่าสูงกว่า

5.4.2 สรุปผลของการทดสอบโปรแกรมมีความยาวเฟรมมาก

เมื่อทดสอบโปรแกรมที่ความยาวเฟรมมากพบกว่า BER และ FER ของ Turbo Code ที่ใช้ Pseudo-Random Interleaver และมีค่าน้อยกว่ามากเมื่อเทียบกับ Turbo Code ที่ใช้ Row-Column Interleaver และ Circular Shifting Interleaver ค่าไกล์เคียงกัน เนื่องจาก Average Weight โดยรวมของ Pseudo-Random Interleaver ที่ความยาวเฟรมมาก ให้ค่าที่สูงและคงที่ทุก Bit Distance สำหรับ Row-Column Interleaver และ Circular Shifting Interleaver ให้ค่า BER และ FER ที่ใกล้เคียงกัน เมื่อความยาวเฟรมมาก และ Row-Column Interleaver มีแนวโน้มของผลที่ดีกว่า Circular Shifting Interleaver เนื่องจากค่า Average Weight มีค่าสูงกว่า

บทที่ 6

บทสรุป และข้อเสนอแนะ

6.1 บทสรุป

ผลจากการทำโครงการสามารถสรุปได้ดังนี้

- สามารถสร้าง Row-Column Interleaver ที่เป็น Deterministically Generate Interleaver ซึ่งเป็นวิธีใหม่ที่มีแนวโน้มนำไปอพอยเมื่อเทียบกับ Circular Shifting Interleaver
- สามารถสร้างแบบจำลองช่องสัญญาณ ซึ่งประกอบด้วย AWGN, Ricean Fading และ Rayleigh Fading ได้
- สามารถใช้เครื่องมือสร้างแบบจำลอง Turbo Code สำหรับ โปรแกรม Matlab ในการเข้ารหัส ถอดรหัสแบบ Turbo Code ได้ โดยเลือกใช้ Interleaver และ แบบจำลองช่องสัญญาณ ได้หลายชนิด
- สามารถนำเครื่องมือสร้างแบบจำลอง Turbo Code มาวิเคราะห์ประสิทธิภาพของ Turbo Code เมื่อใช้ Interleaver ต่างชนิดกันที่ความยาวเฟรมต่างกัน ได้

6.2 ปัญหาและอุปสรรคในการทำงาน

- ไม่มีความรู้ในการสร้าง Simulink ของโปรแกรม Matlab จึงใช้เวลามากในการศึกษา
- สำหรับการทดสอบผลโปรแกรมใช้เวลามากในการดำเนินการ
- สำหรับการเตรียมข้อมูลทำโครงการ ไม่ได้มีการเตรียมข้อมูลล่วงหน้าทำให้ใช้เวลาในการเตรียมข้อมูล การศึกษาทำความเข้าใจ

6.3 ข้อจำกัดของโครงงาน

- สำหรับเครื่องมือสร้างแบบจำลองช่องสัญญาณ Ricean Fading และ Rayleigh Fading ไม่ควรใช้ข้อมูลที่มีความยาวเฟรมมากกว่า 4000 เพราะโปรแกรมกำหนดไว้เพื่อไม่ให้การสร้างแบบจำลองช่องสัญญาณนานเกินไป และตัวโปรแกรมจะใช้หน่วยความจำมากในการเก็บตัวแปร
- โปรแกรมสำหรับทดสอบผลต้องใช้เวลาในการนี้อย่างมากเนื่องจากต้องทำการซุ่มเก็บค่าผลการทดสอบให้มากพอ

6.4 ข้อเสนอแนะเพิ่มเติม

- โปรแกรมสำหรับทดสอบถ้าเปลี่ยนจากการใช้ Matlab เป็นภาษา C น่าจะใช้เวลาน้อยลง
- สำหรับส่วนที่เป็นเครื่องมือสร้างแบบจำลอง Turbo Code สามารถสร้างส่วนที่เป็น Interleaver หรือแบบจำลองช่องสัญญาณอื่นเพิ่มเติมได้

รายการอ้างอิง

- [1] Claude Berrou, Alain Glavieux และ Punya Thitimajshima, 1993, "Near Shannon Limit Error-Correcting Coding and Decoding : Turbo-Codes (1)", IEEE
- [2] สมศักดิ์ วานิชอนันต์ชัย, 2000, "เอกสารประกอบการเรียนการสอนวิชา 409422 DIGITAL COMMUNICATION", มหาวิทยาลัยเทคโนโลยีสุรนารี
- [3] Joseph C. Libert, JR. และ Theodore S. Rappaport, "Smart Antennas for Wireless Communications: IS-95 and Third Generation CDMA Applications", Prentice Hall Communications Engineering and Emerging Technologies Series
- [4] Martin Bossert, 1999, "Channel Coding for Telecommunications", WILEY
- [5] Akira SHIBUTANI, Hirohito SUDA และ Yasushi YAMAO, 2000, "Performance of W-CDMA Mobile Radio with Turbo Codes Using Prime Interleaver", IEEE
- [6] Yufei Wu, May 1999, "Design and Implementation of Parallel and Serial Concatenated Convolutional Codes", Blacksburg, Virginia
- [7] Oscar Y. Takeshita และ Daniel J. Costello, Jr., 2000, "New Deterministic Interleaver Designs for Turbo Codes", IEEE
- [8] Moataz Mohamed Salah, June 2000, "Turbo Codes for Wireless Mobile Communication Systems Applications", APPROVED FOR PUBLIC RELEASE; DISTRIBUTION UNLIMITED

- [9] William C.Y. Lee, 1998, "Mobile Communications Engineering", McGraw-Hill Telecommunications
- [10] เรืองฤทธิ์ เพชรวุฒิ, 2000, "website วิชา Mobile Communications คณะวิศวกรรมศาสตร์ จุฬาลงกรณ์มหาวิทยาลัย", <http://www.geocities.com/learncdma/>
- [11] www.e-technik.uni-kl.de, 2001, " CDMA Glossary A-F", [www document] URL http://www.e-technik.uni-kl.de/baier/Staff/Clos/further_info/cdma/DefAtoF.html

